Методы панорамной спектроскопии

Лекция I.

О чём этот курс? Введение: проблемы классической щелевой спектроскопии, понятие куба данных. История метода, основные типы спектрографов.

Записи и материалы – ссылки на моей страничке

https://www.sao.ru/hq/moisav

(там же и курс по редуктору светосилы)





Алексей Моисеев

Switch to English

Основная

CV

Публикации

Конференци

Лекции

Студенты

Семья



E-mail: moisav@sao.ru, moisav@gmail.com Рабочий телефон:+7-87822-93-396 Здравствуйте! Это личная страничка Алексея Моисеева, д.ф.-м.н., заведующего пабораторией спектроскопии и фотометрии внегалактических объектов. Я являюсь ответственным за метод наблюдений SCORPIO-2 на 6-м телескопе CAO PAH и прибор MaNGaL на 1-м телескопе CAO PAH и 2.5-м телескопе КГО ГАИШ МГУ. Руковожу астрофизический семинаром CAO PAH, являюсь членом редколлегий журналов "Астрофизический бюллетень", "Galaxies" и Frontiers in Astronomy and Space Sciences, зам. председателя диссертационного совета 24.1.212.01 CAO PAH, член диссертационного совета ФТИ 34.01.04.2, вхожу в Бюро Научного совета ОФН РАН по астрономии

Мои научные интересы лежат в области внегалактической астрономии с особенным вниманием на технику наблюдений:

- Морфология и кинематика галактик различных типов.
- Процессы обратной связи в галактиках: воздействие звездообразования на межзвездную среду, галактический ветер.
- Галактики с активными ядрами и их окружение.
- Методы 3D-спектроскопии: интегрально-полевые спектрографы, сканирующие интерферометры Фабри-Перо.

Постоянно используемые ссылки:













Мои блоги и библиометрия













О чем этот курс?

- Рассмотрим разные реализации метода 3D спектроскопии (*«все классические спектрографы похожи друг на друга, а вот панорамные...»*)
- И то, что делается (и делалось) на БТА в этом направлении
- Основные идеи обработки, анализа и визуализации данных
- Примеры применения (больше упор на внегалактические исследования и массовые обзоры).
- Принципы измерения физических параметров галактик и туманностей (кинематика, химсостав, параметры ионизации, звездное население)

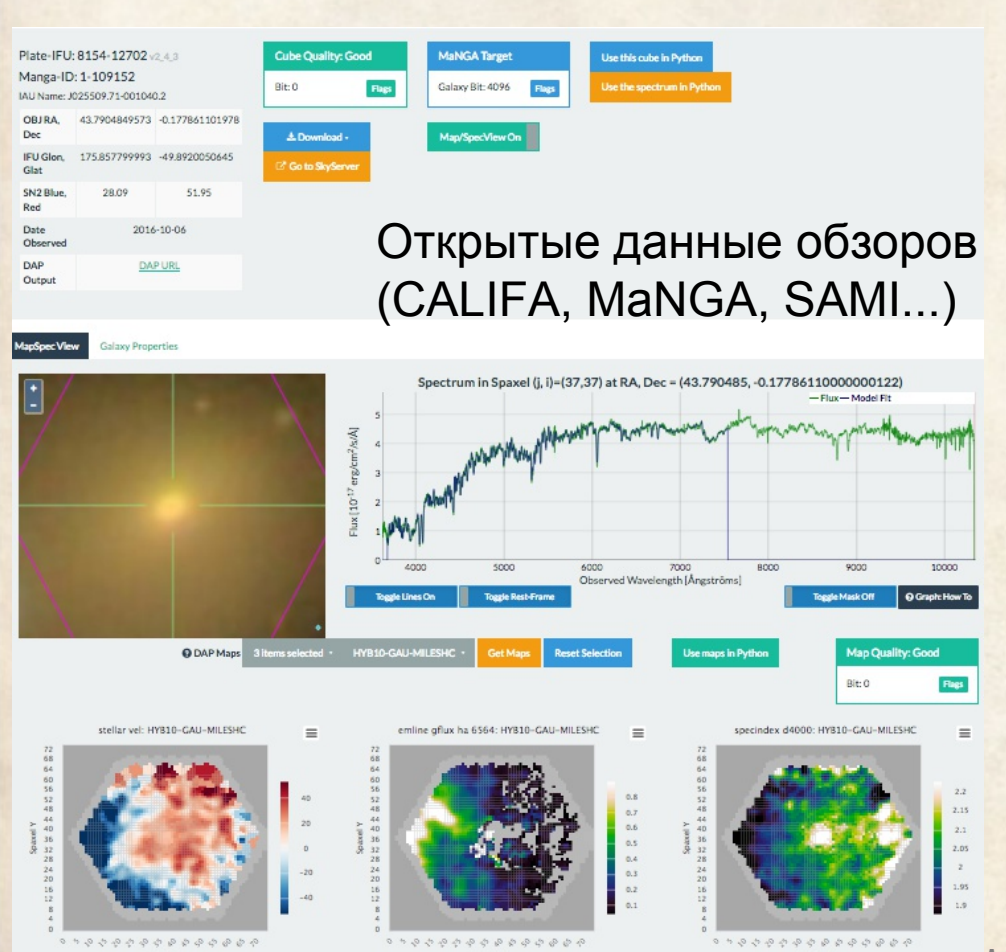
Связь с курсом «Многорежимный фокальный редуктор БТА» :

- Напомним базовые понятия (спектрограф, широкощельность)
- Сканирующий интерферометр Фабри-Перо

Зачем этот курс?

Сейчас 3D-спектрографы – на многих средних и больших телескопах

(На 6-м телескопе БТА: SCORPIO-2/IFU & FPI)

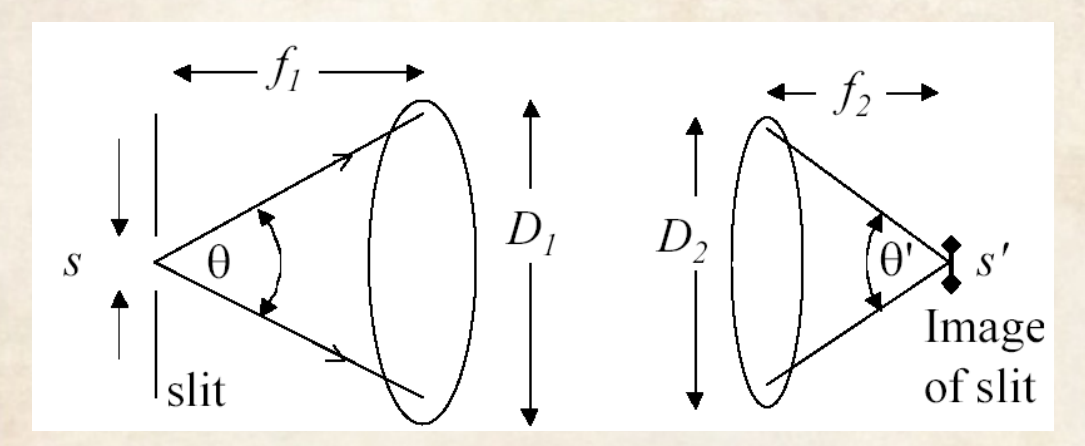


Начат обзор LVM/SDSS-V NIRSpec и MIRI на борту JWST



Методы панорамной спектроскопии», 2025, лекция 1

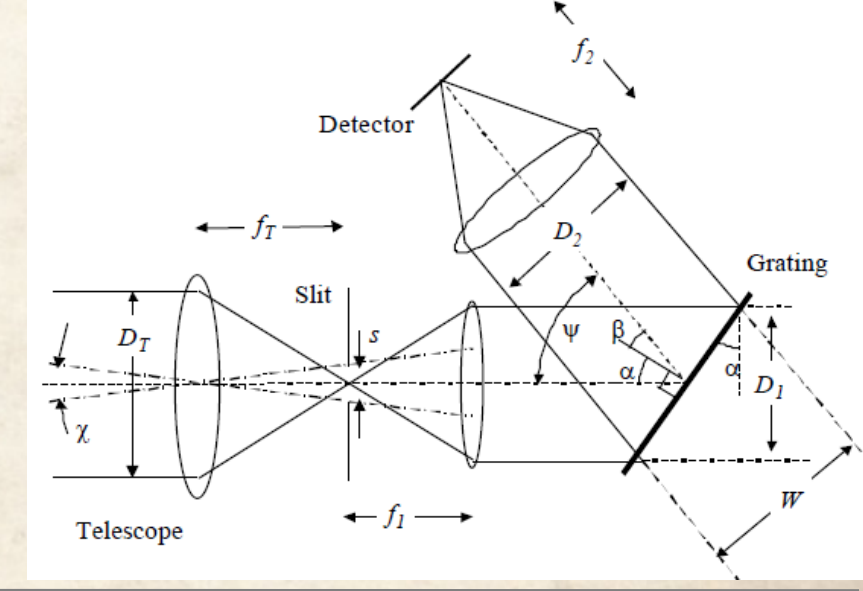
Щель: спектрограф как телескопическая система



$$s' = s \frac{(f_2/D_2)}{(f_1/D_1)}$$

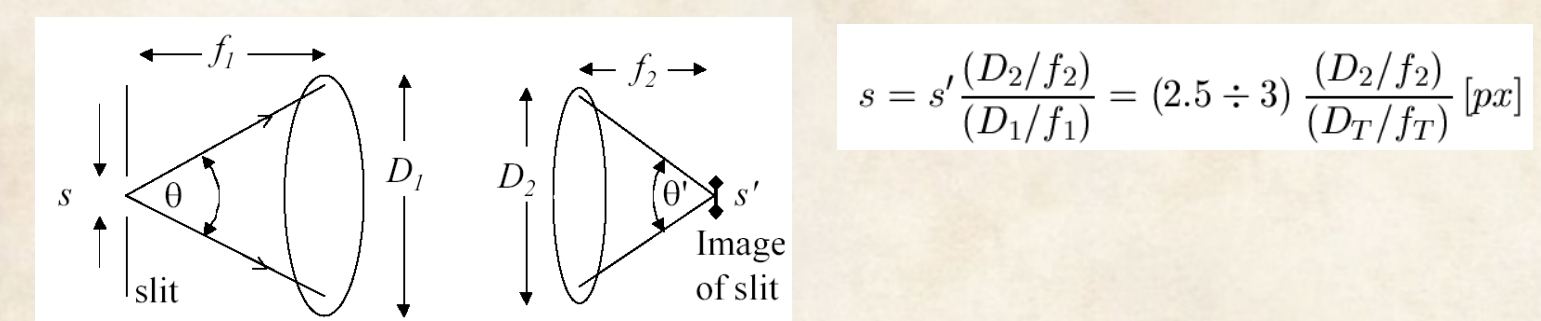
Спектрограф строит серию монохроматических изображений входной щели, поэтому для нас важно только то, что решетка разводит лучи с разными длинами волн, т.е. обладает дисперсией.

См. Лекцию 2 "Многорежимный фокальный редуктор.."



Щель: выбор ширины

На практике, "нормальная щель" – это щель, FWHM которой (в проекции на детектор) равняется 2.5-3 пикселя



$$s = s' \frac{(D_2/f_2)}{(D_1/f_1)} = (2.5 \div 3) \frac{(D_2/f_2)}{(D_T/f_T)} [px]$$

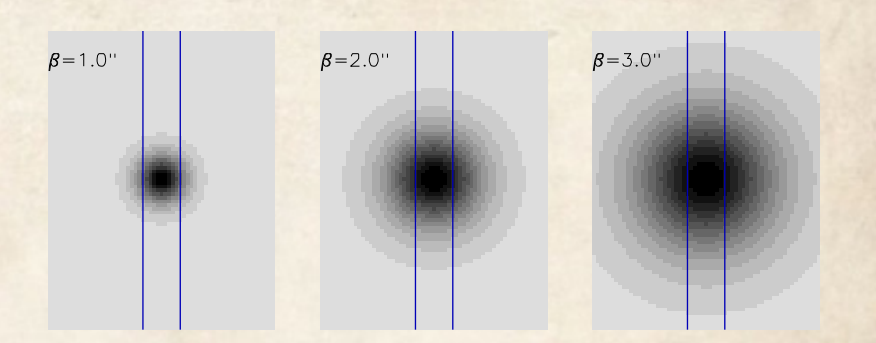
Ширина "нормальной щели" - пропорциональна светосиле камеры, а чем светосильнее камера – тем больше с ней проблем.

С другой стороны, чем шире щель (в угловой мере), тем лучше у спектрографа широкощельность.

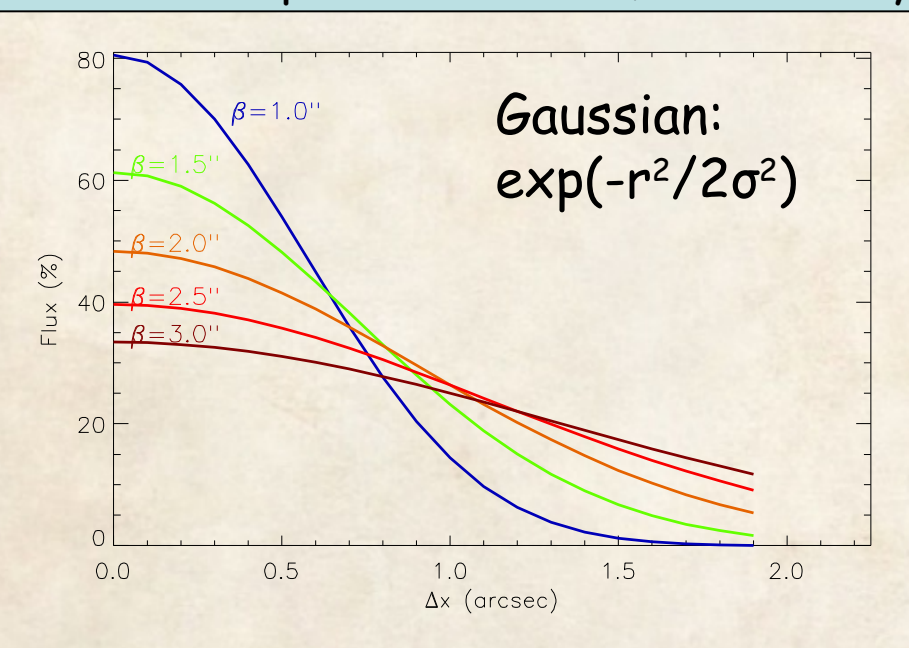
Оптимальная широкощельность – когда ширина нормальной щели равняется пространственному разрешению на телескопе (в наших условиях это размер звездных изображений – seeing)

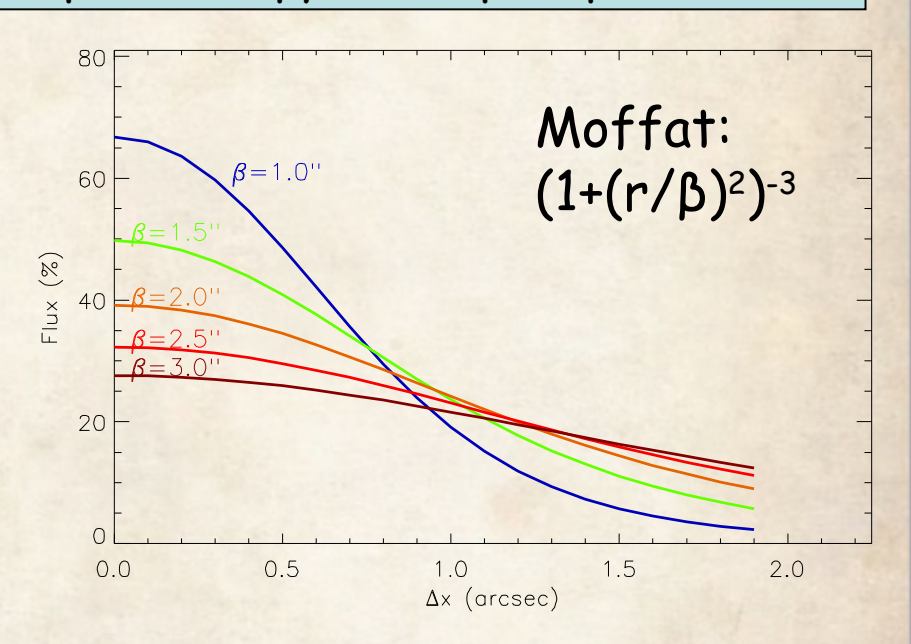
Щель: потери света

Поправка за щель зависит не только от качества изображений, но и от точности наведения



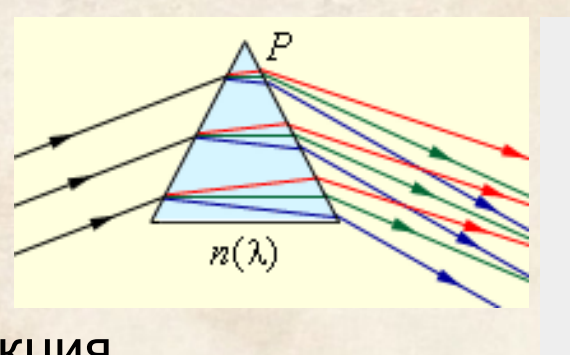
Расчет потерь света на 1" щели для двух вариантов функций распределения:





См. Лекцию 2 "Многорежимный фокальный редуктор.." и статью Моисеев (2008AstBu..63...70)

Атмосферная дисперсия



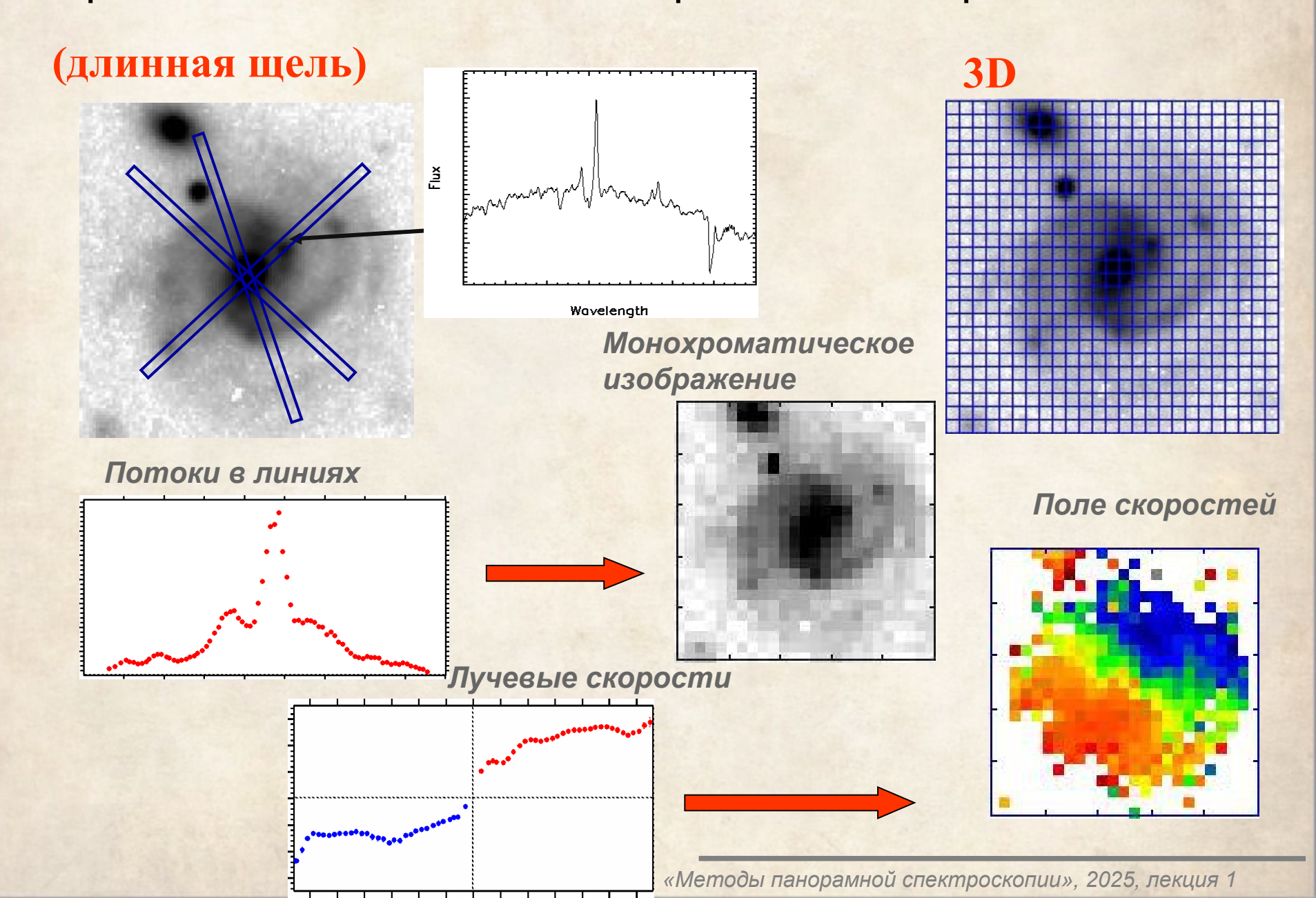
Она же дифференциальная рефракция атмосферы: изменение угла рефракции светового луча от его длины волны.

Атмосферная дисперсия и САО:

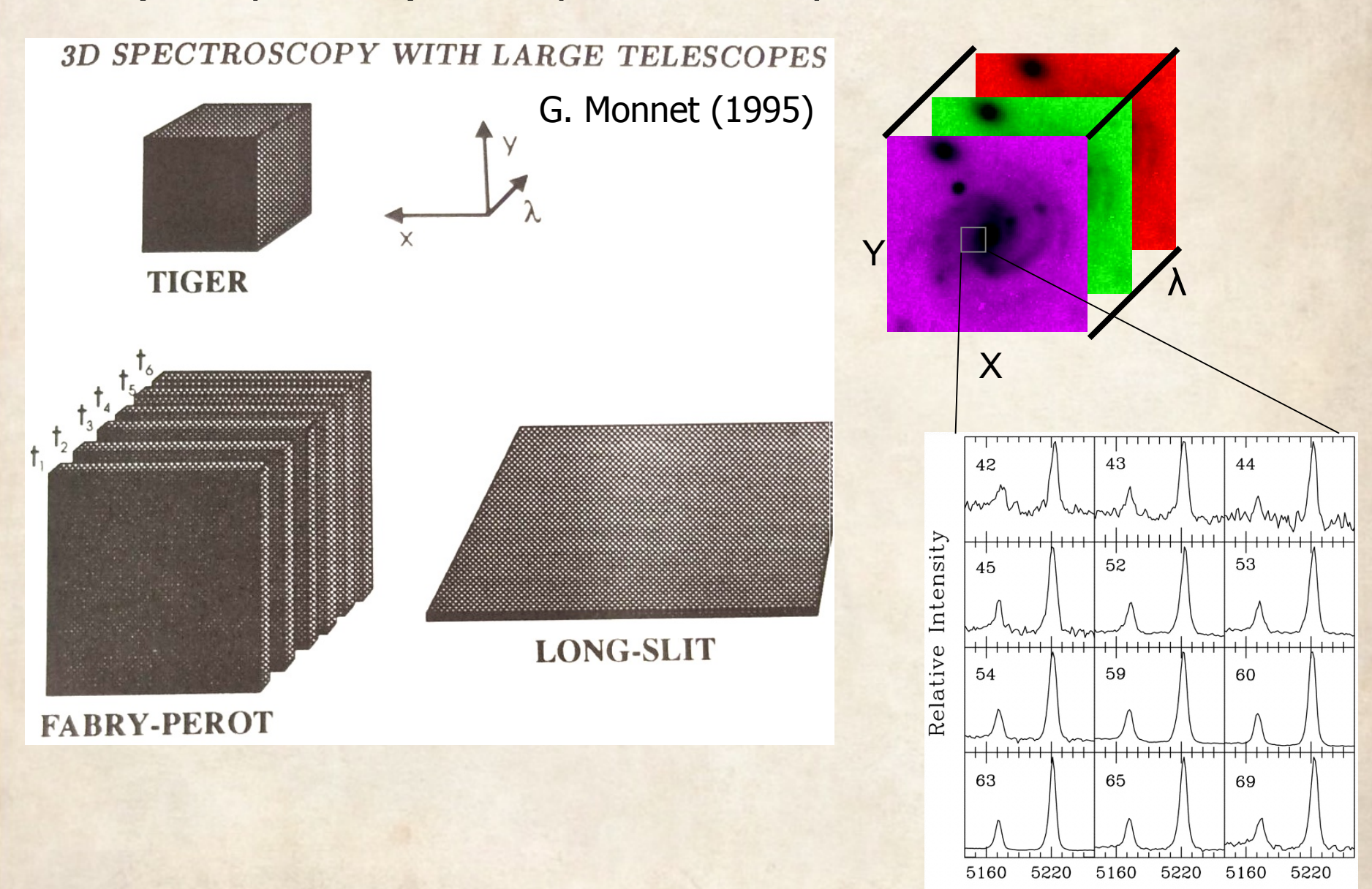
Спекл-интерферометр БТА имеет компенсатор атмосферной дисперсии

Надо стараться, чтобы щель спектрографа совпадала с направлением атмосферной дисперсии, т.е. была вертикальна.

Сравнение щелевой и панорамной спектроскопии

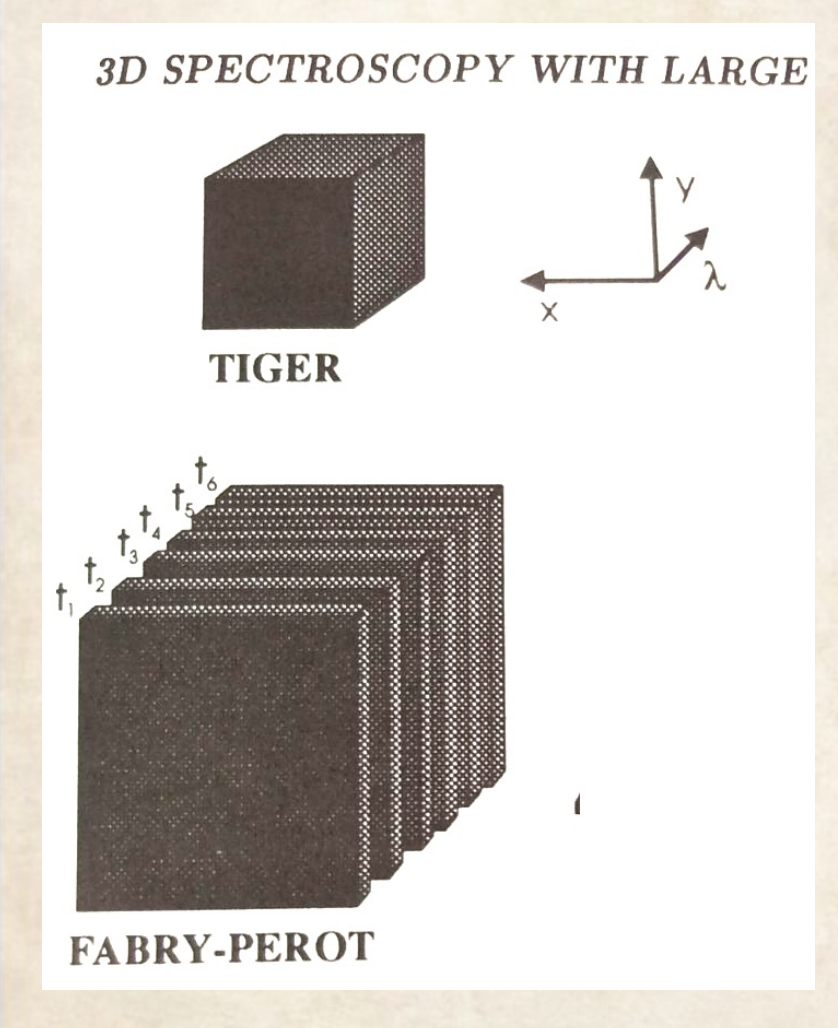


3D (панорамная) спектроскопия: куб данных



Wavelength (Å)
Моисеев, «Методы панорамной спектроскопии», 2025, лекция 1

3D (панорамная) спектрографы



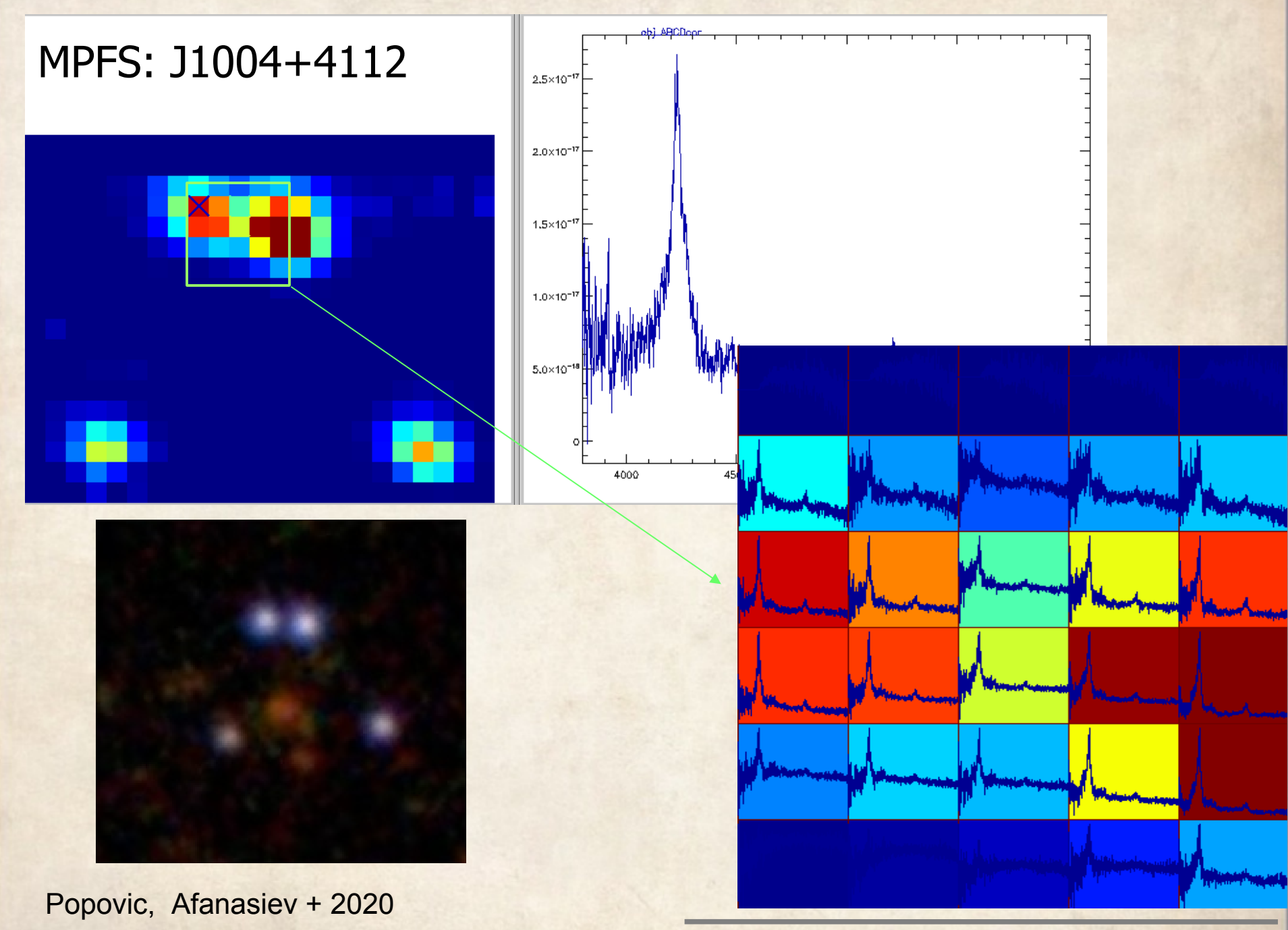
Интегрально-полевые спектрографы: (FOV<10-20", $\Delta\lambda$ >1000Å , $R=\lambda/\delta\lambda$ <2000)

- Жгуты световолокон (SILFID, 1980)
- Микролинзы (TIGER, 1988)
- Волокно+линза (MPFS, 1990)
- Резатель (SPIFFI, 2003)

Мультиплексные (сканирующие): $(FOV>3', \Delta\lambda=10-200\text{Å}, R>2000-10 000)$

- Интерферометры Фабри-Перо
- Фурье-спектрографы
- Акустооптические фильтры

Первый куб данных (в оптике): Tully (1974) с ИФП



Моисеев, «Методы панорамной спектроскопии», 2025, лекция 1

Терминология

- **2D** (bidimensional) спектроскопия к концу 90г началу 00х превратилась в **3D** (tridimensional)... Метод не менялся, но большее число размерностей выглядело солидней, куб все-таки
- Сейчас чаще говорят просто «3D», или «integral-field», если это не интерферометр Фабри-Перо или не Фурьеспектрограф
- IFS=Integral-field spectrograph/spectroscopy
- **IFU**=Intergal Field Unit обычно, если эта часть многорежимного прибора
- **Куб данных** (data cube) пришел из радиоастрономии, вместе с многомерным FITS
- Spaxel = Spatial pixel пространственный элемент

Основные астрофизические приложения

1. Центральные области близких галактик:

- движения ионизованного газа и звезд
- звездное население, химически выделенные ядра
- AGN: характеристики газа вблизи активного ядра

2. Далекие объекты:

- Эволюция радиогалактик
- Ионизованный газ в оболочках квазаров
- Гравитационные линзы

3. Наша Галактика:

- джеты из молодых звезд, объекты Хербига-Аро
- туманности вокруг массивных звезд (WR и LBV)
- остатки взрыва сверхновых

4. Спектроскопия звездообразных объектов на ярком фоне

- планетарные туманности, уникальные звезды в других

галактиках

История метода: вновь, первым был G. Courtes...

Courtès (1960s) — возрождение наблюдений с эталоном Фабри-Перо

Courtès (1980) — описана идея спектрографа интегрального поля

Courtès (1982) — идея волоконного блока в сочетании с линзовым

Bacon et al (1988) — TIGER (линзы)/CFHT

Afanasiev et al (1990) — MPFS (линзы + волокна)/БТА

Далее везде, на больших и малых телескопах. В космосе — уже на JWST

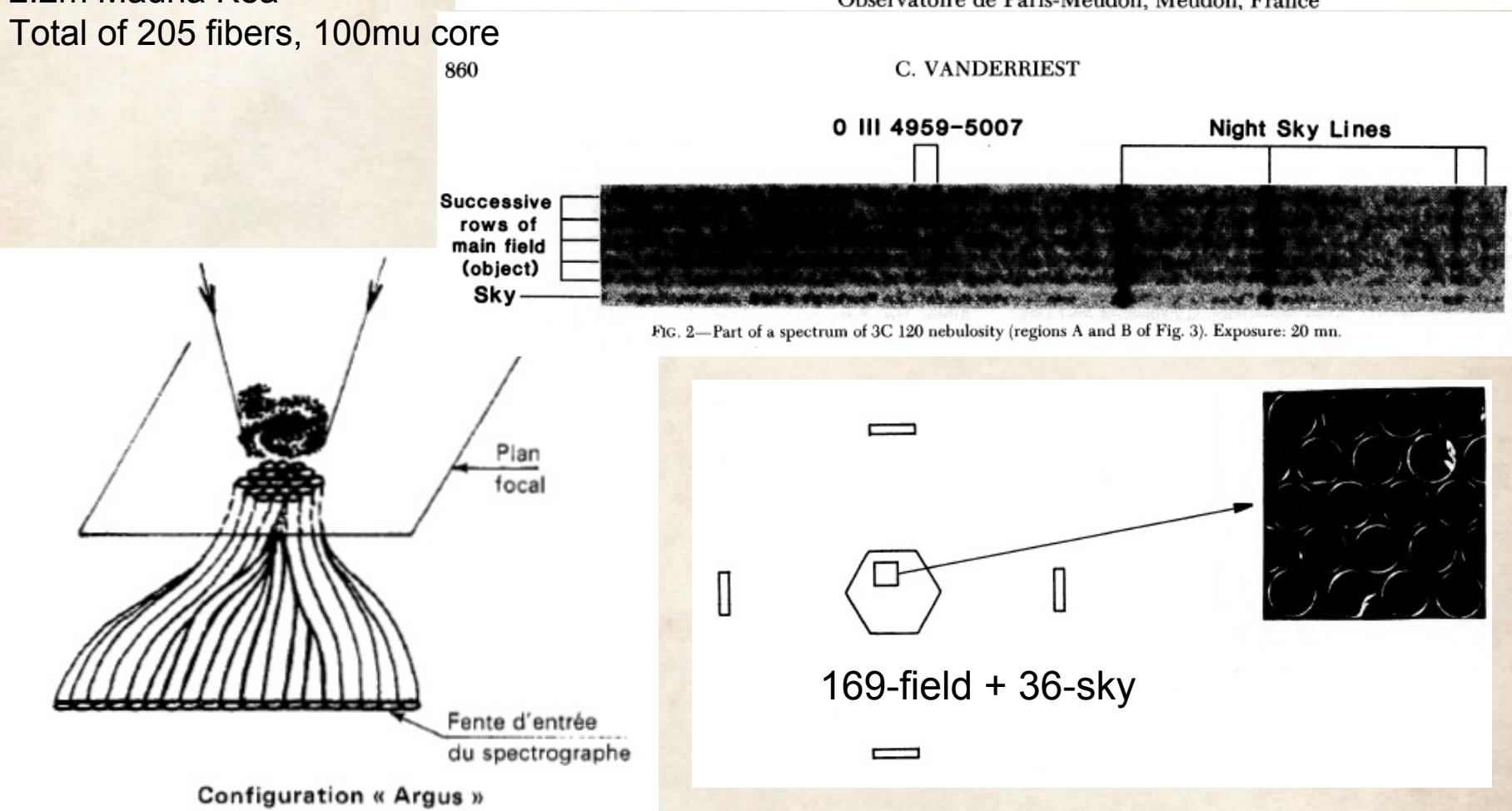
Прототип IFS

Vanderriest (1980): 2.2m Mauna Kea

A FIBER-OPTICS DISSECTOR FOR SPECTROSCOPY OF NEBULOSITIES AROUND QUASARS AND SIMILAR OBJECTS

C. VANDERRIEST®

Observatoire de Paris-Meudon, Meudon, France



C. Vanderriest, G. Courtès, J. Donas

J. Optics (Paris), 1984, vol. 15,

Со своим фокальным редуктором Куртес неоднократно приезжал на наш 6-м телескоп, тогда крупнейший в мире. Фото из сборника "История САО РАН в фотографиях 1965-2010":



Фото 4. Наблюдательная команда, выполнявшая на БТА обзор очаговзвездообразования в галактиках МЗ1 и МЗ3. Справа налево: "папаша" Ж. Куртес, С.Н. Додонов, П. Сиван, В.Л. Афанасьев, В.Е. Караченцева, А. Пети, И.Д. Караченцев и Ж. Булестекс.

24 avril 1925 - 31 octobre 2019

L'Académie des sciences a le 1 faire part du décès de Georges le 31 octobre 2019, à l'âge quatorze ans. Il avait été l'Académie le 8 mars 1982,

An Integral Field Spectrograph (IFS) for Large Telescopes

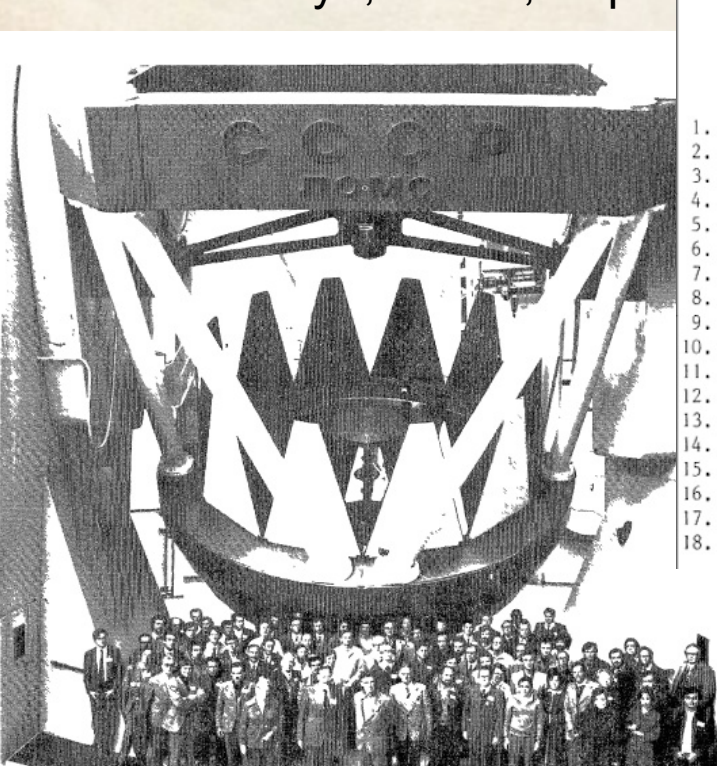
Latham Angel Kipper Kuvshinov Denisjuk Steshenko Prokof 'eva Mikhel'son Roddier Raouf Richardson Rylov Rosch Nebelitskii Wlérick Goryacheva Boulesteix Tsvetkova

Courtes 1982:

KEY TO CONFERENCE PHOTOGRAPH

Instrumentation for Astronomy Telescopes,

Proceedings of IAU Colloq. 67, Zelenchukskaya, USSR, Septe



	990 9	
0		Θ
	(B)	②

19	Korovyakovskii
	Dokuchaeva
21.	
22.	Iliev
23.	Korol'kov
24.	Amirkhanian
25.	Humphries
26.	Picat
27.	Lipovetskii
28.	Shcherbakov
29.	Harmer, D.
30.	Dravins
31.	Glagolevskii
32.	Alekseyev
33.	Malarev
34.	Dudinov
35.	Somov
36.	Zdanavicius

37.	Drazdis	55.	Esipov
38.	Dodonov	56.	Pronik
39.	Afanas'yev	57.	Fossatt
40.	Pimonov	58.	Fomenko
41.	Barnes	59.	Ioannisia
42.	Ribes	60.	Zaratsian
43.	Harmer, C.F.W.	61.	Burenkov
44.	Brown	62.	Sisask
45.	Lipatov	63.	Murdin
46.	Gyavgyanen	64.	Kopylov
47.	Chentsov	65.	Kiselev
48.	Chkhikvadze	66.	Nevskii
49.	Korol'	67.	
50.	Kuz'menkov	68.	Drabek
51.	Karachentsev	69.	Romanyuk
52.	Notni	70.	Lelièvre
53.	Beckers	71.	Petrov
54.	Shcheglov	72.	Maillard



ASTROPHYSICS AND SPACE SCIENCE LIBRARY

D. REIDEL PUBLISHING COMPANY

DORDRECHT, HOLLAND / BOSTON, U.S.A. / LONDON, ENGLAND

Courtes (1982): Integral Field Spectrograph

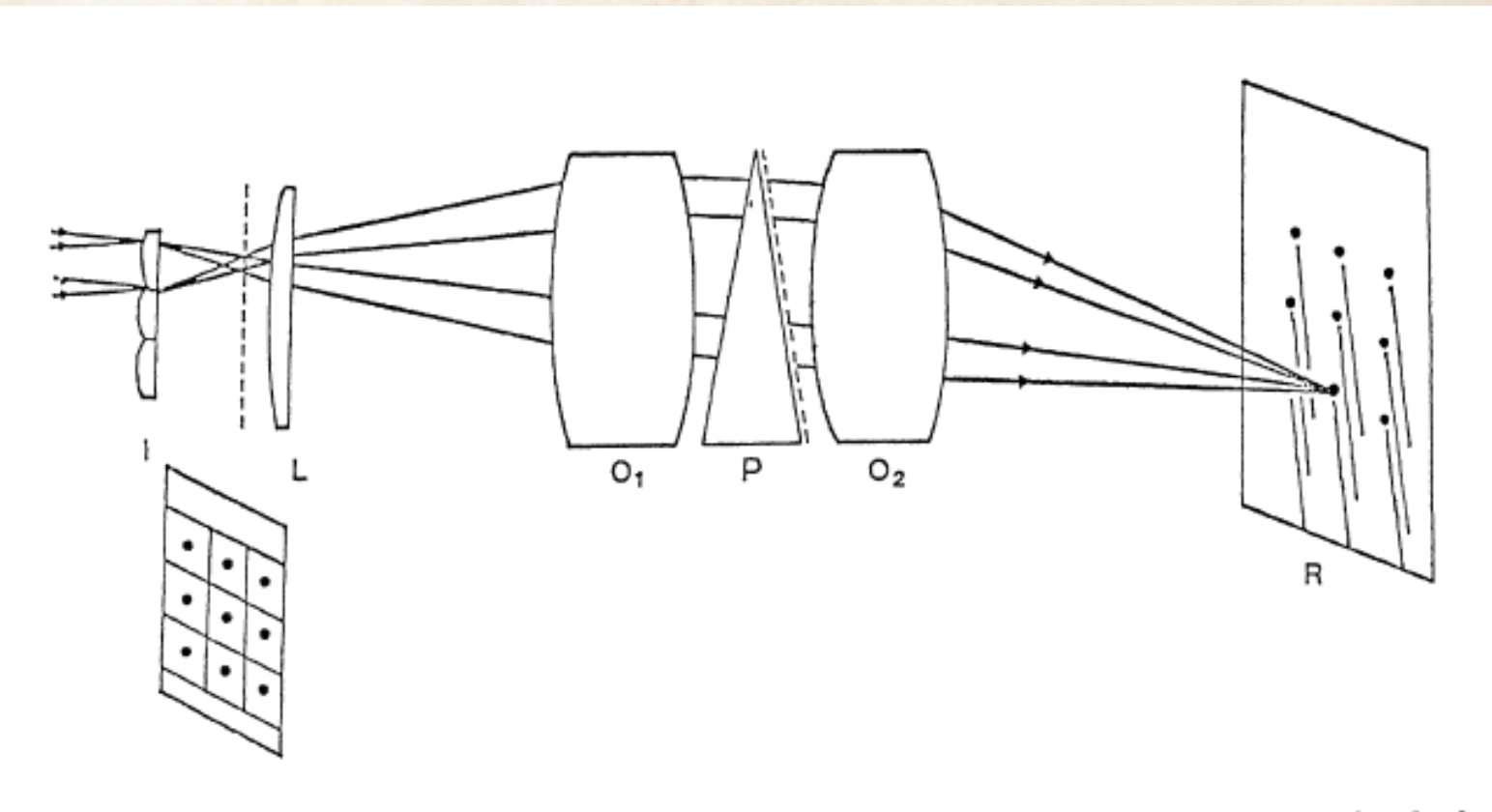


Figure 1. Integral Field Spectrograph: The array of lenses I is placed in the telescope focal plane and produces a chequer pattern of exit pupils; the focal reducer LO₁O₂, equipped with a Carpenter prism-grating P, gives a two-dimensional distribution of the spectra corresponding to each pupil.

Courtes (1982): волоконная технология

using them in series with a multi-lens array. The flux \emptyset_1 admitted at the front end of a fibre bundle is limited for two reasons:

- (1) for a hexagonal distribution of fibres (Figure 2), \emptyset_1 is less than the incident flux \emptyset_0 and even in the most favourable case $\emptyset_1 = 0.89\emptyset_0$
- (2) the diameter of the most efficient area is related to the type of fibre used but is always smaller (dotted circle in Fig. 2) than the fibre diameter (in the mode of reflection or refractive index variations). Other losses are due to defects of the circular contour of the fibres.

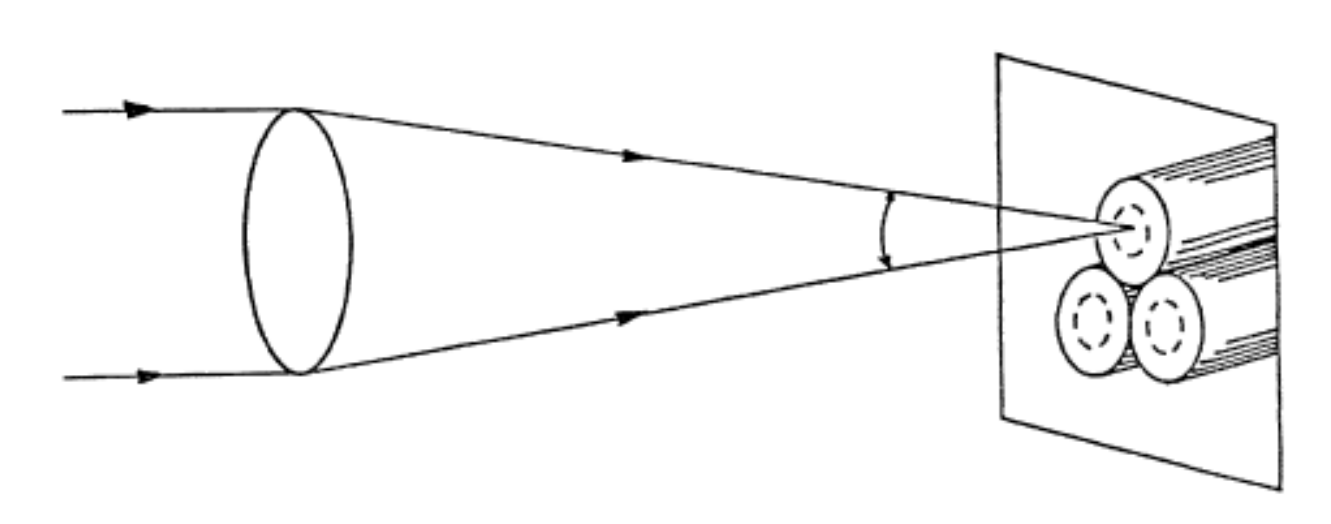
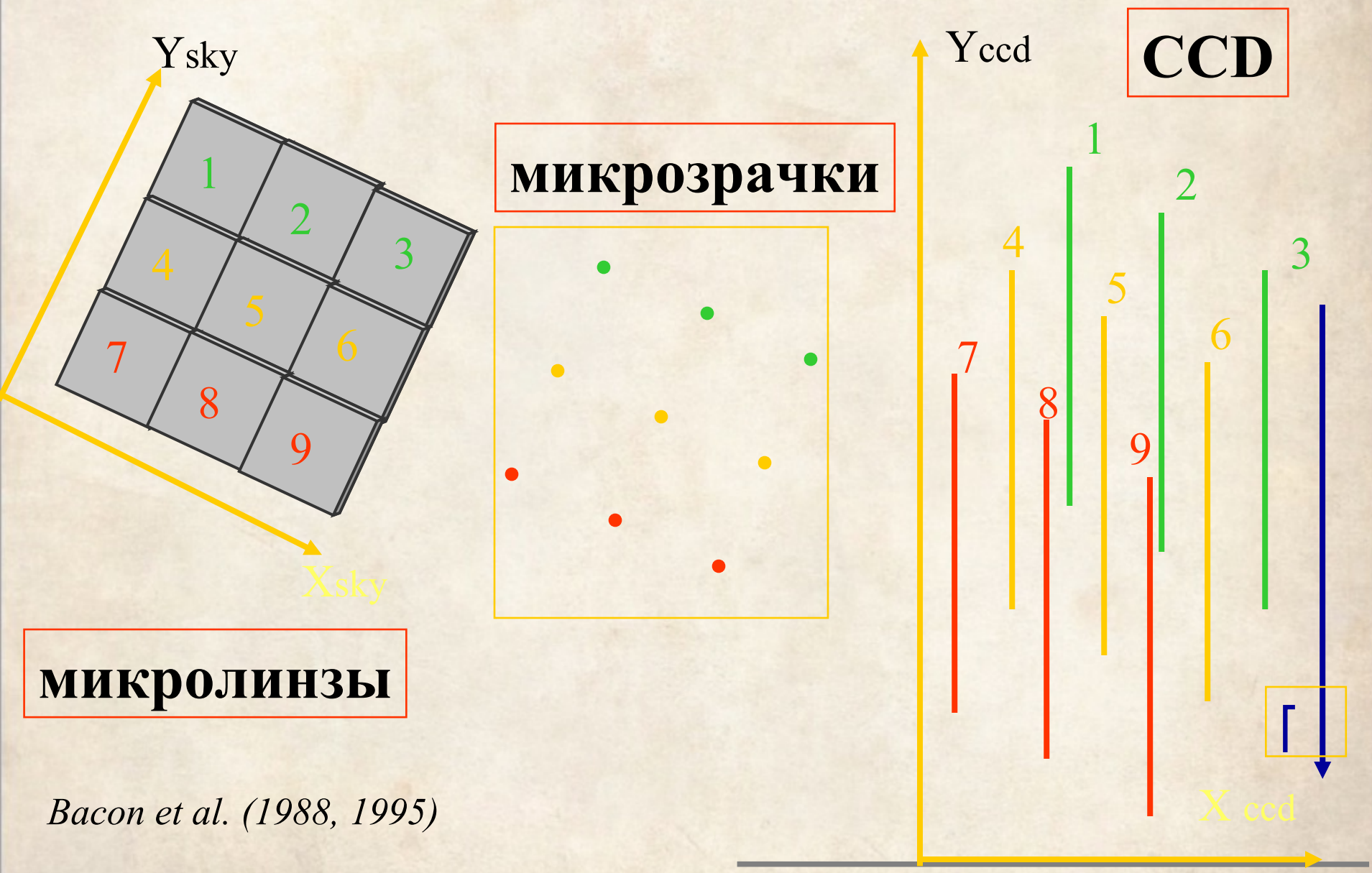


Figure 2. Hexagonal distribution of fibres; the zone of high efficiency at the entrance to each fibre is the core denoted by a dotted circle.

Figure 3. Integral Field Spectrograph (IFS) showing the application in which all image elements are transmitted to a spectrograph slit. The components shown are: the field lens in the focal plane of the telescope, the enlarging lens, the secondary field lens, the array of square shaped lenses, and the fibres going from the exit pupil to the slit.

TIGER: Traitement Intégral des Galaxies par l'Etude de leaurs Raies



Bacon + 1988: первые результаты 3.6m CFHT (всего 4 цитирования в ADS!)

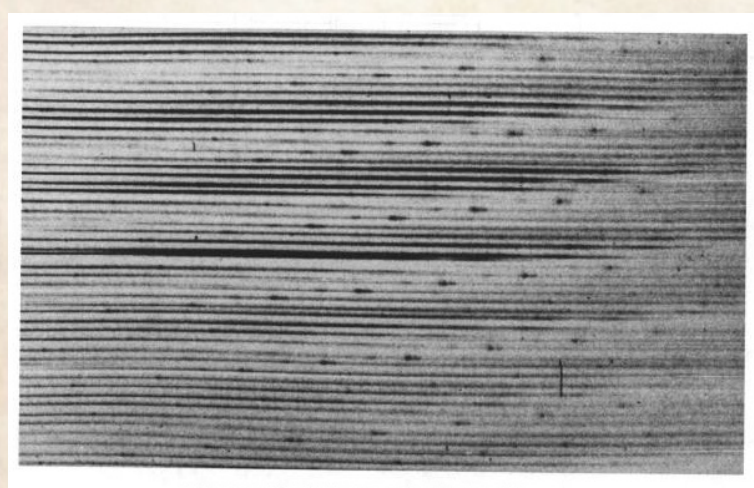
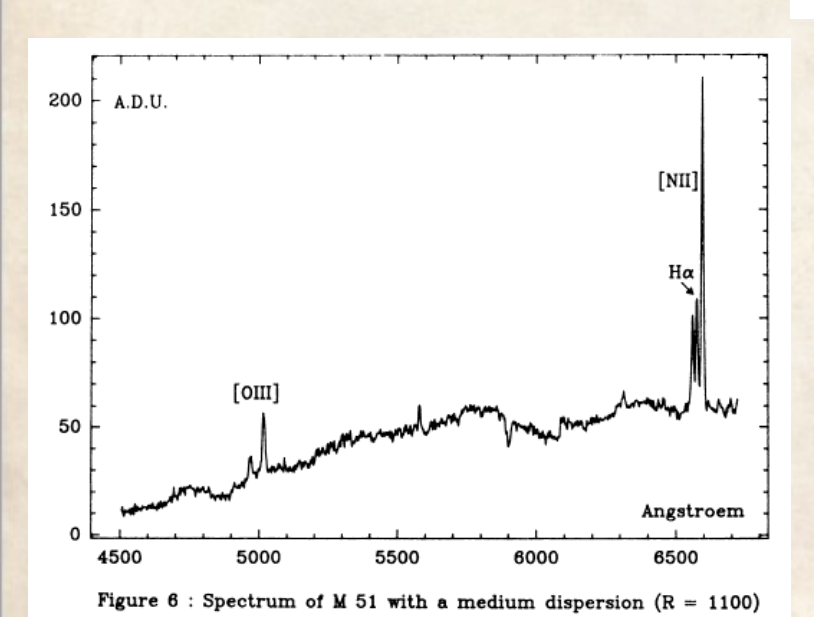


Figure 4 : Raw image in spectrographic mode



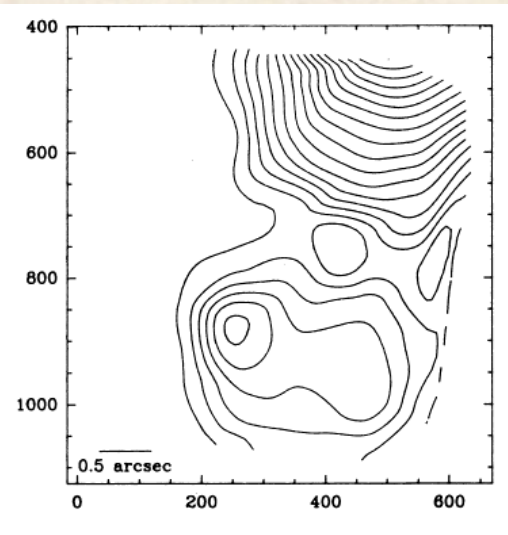


Figure 7: Monochromatic map in [NII]-H α of the nuclear region of M 51

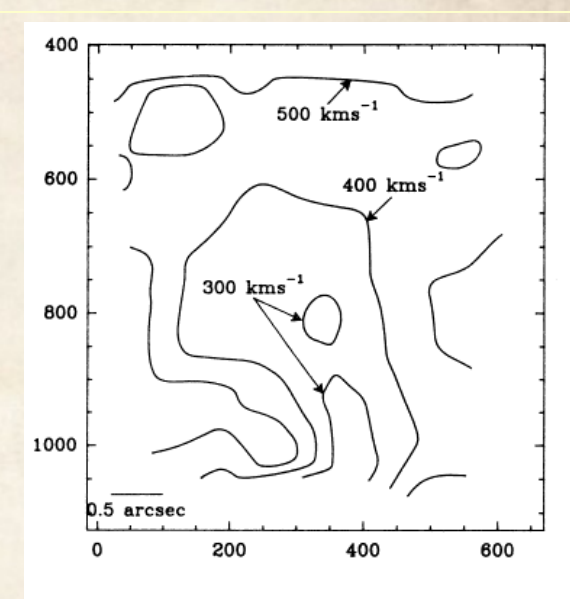


Figure 8: Velocity field from the line [NII] 6584 A

CONCLUSION:

TIGER seems to be a good solution to the problem of integral field spectroscopy. It allows the obtention of a high spatial resolution in a wide spectral range, and can be adapted easyly to any telescope. Moreover, as the micro-lenses can have a square section, a perfect covering of the field can be achieved without any light loss between the elements of the spatial sampling.

The simplicity of the mechanical and electronical design should make TIGER a reliable instrument; this, combined with a very high time-efficiency, gives an instrument well suited for large telescopes and VLT's, where trouble-free operation and ultimate performance must be combined.

Моисеев, «Методы панорамной спектроскопии», 2025, лекция 1

Bacon Roland: "From TIGER to WST" (2024)



Figure 3: TIGER first light at CFHT in June 1987. From let to right: Georges Courtès, Roland Bacon, Guy Monnet and Yvon Georgelin.



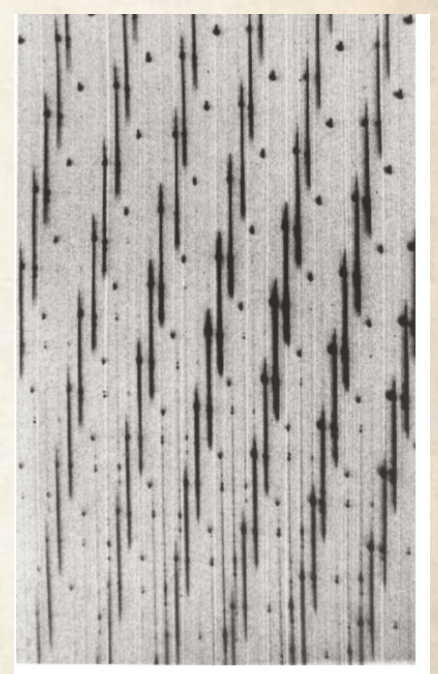
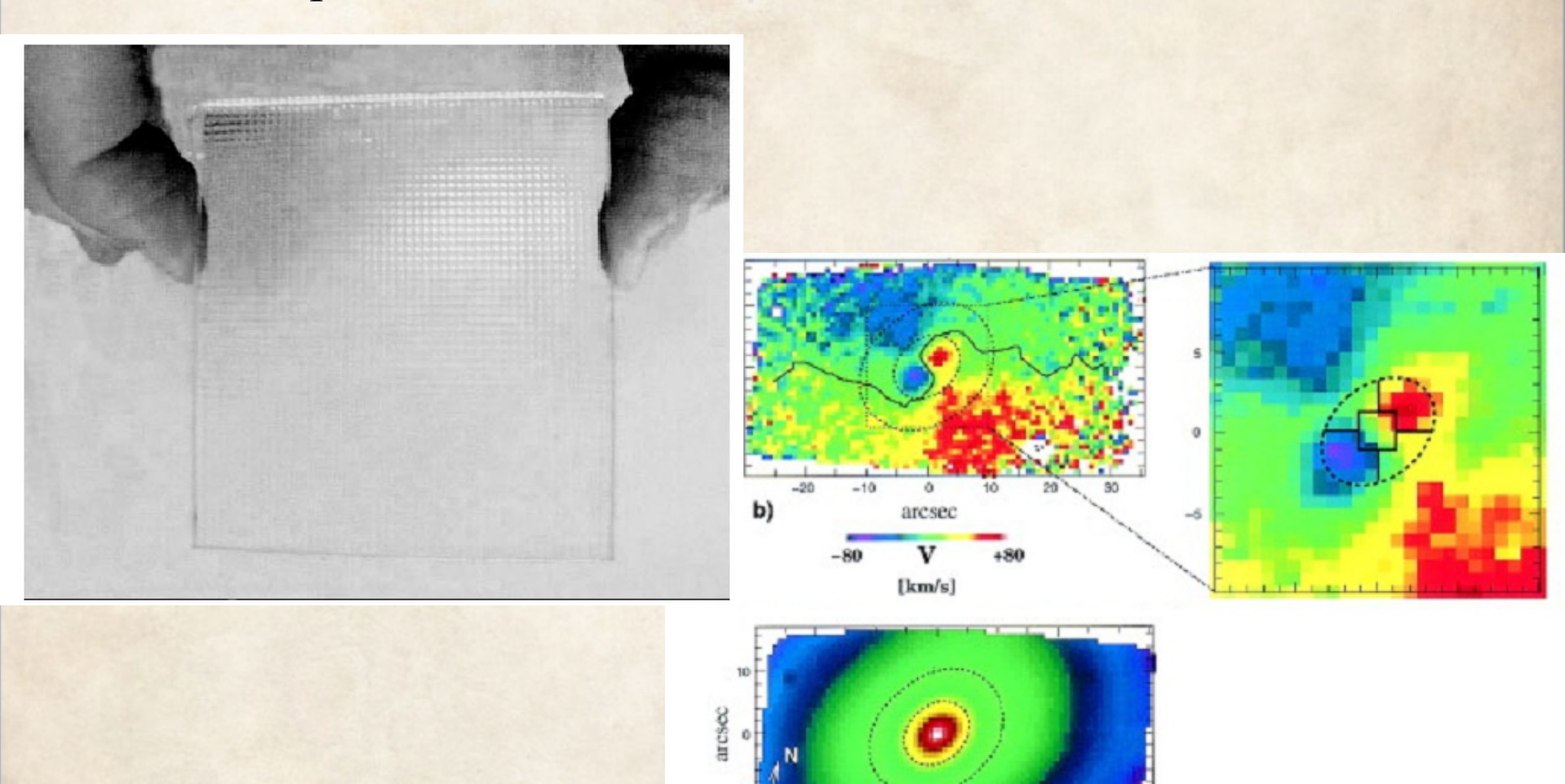


Figure 4: This raw image of the nucleus of M51 was the first science exposure obtained by TIGER during first light at CEHT in time 1987

SAURON: Spectroscopic Areal Unit for Research on Optical Nebulae

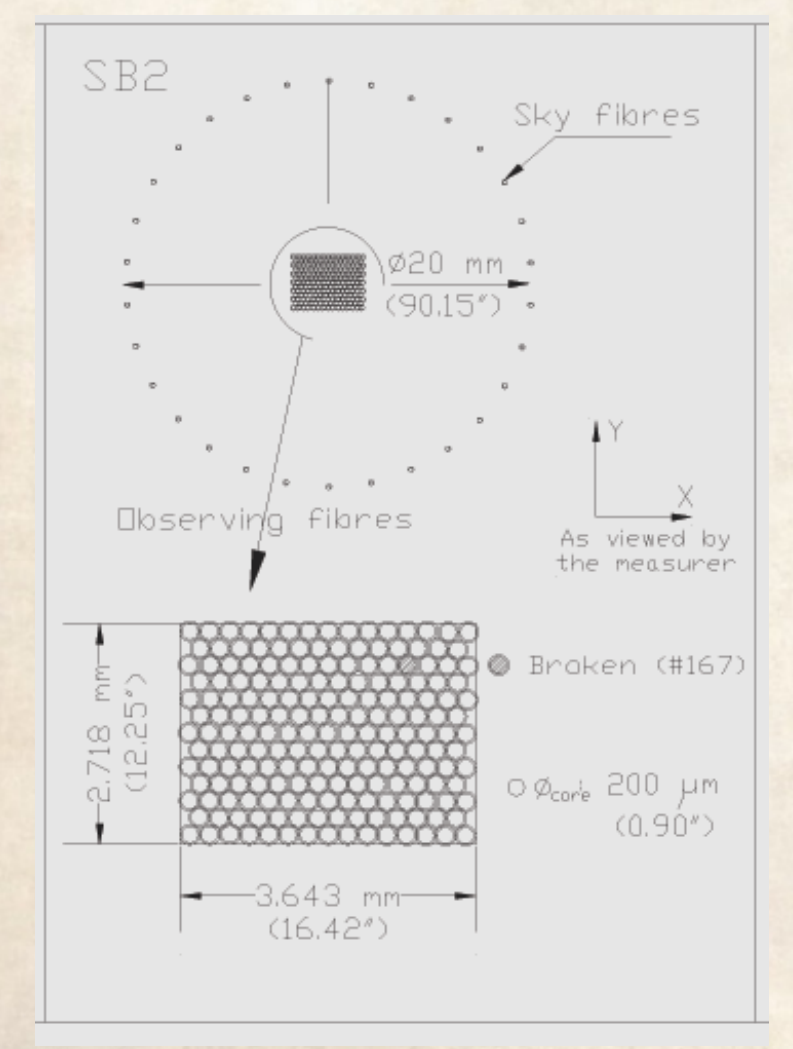
44х35 квадратных линз

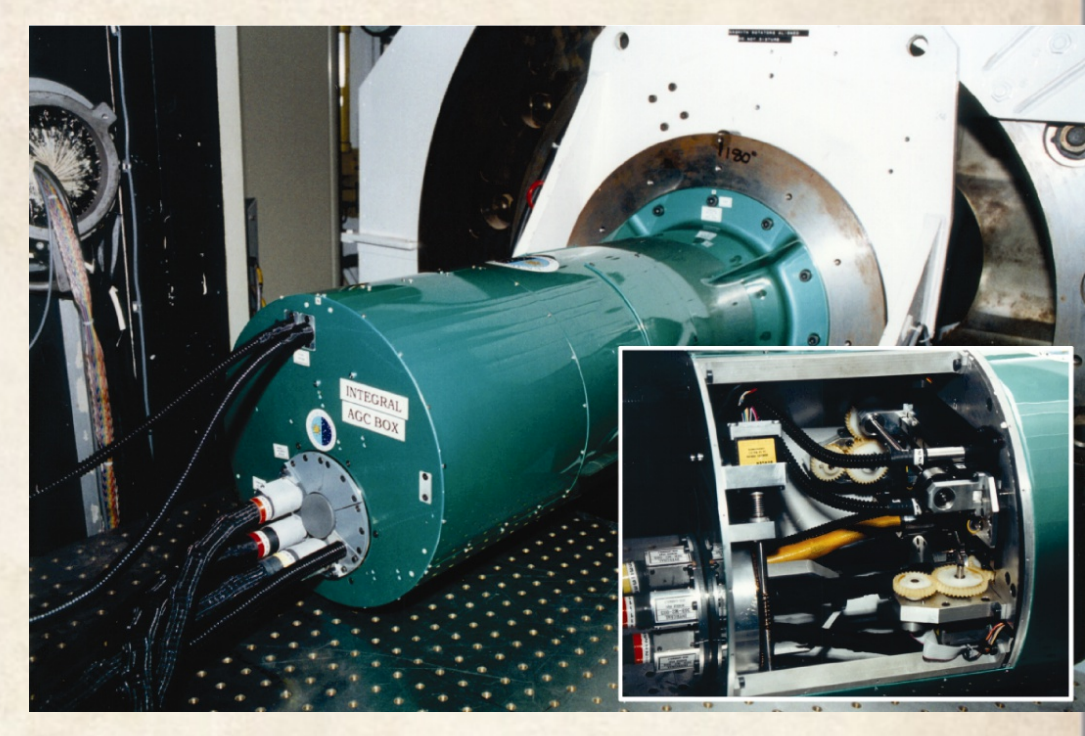


arcsec

INTEGRAL on WHT

Arribas et al. 1998

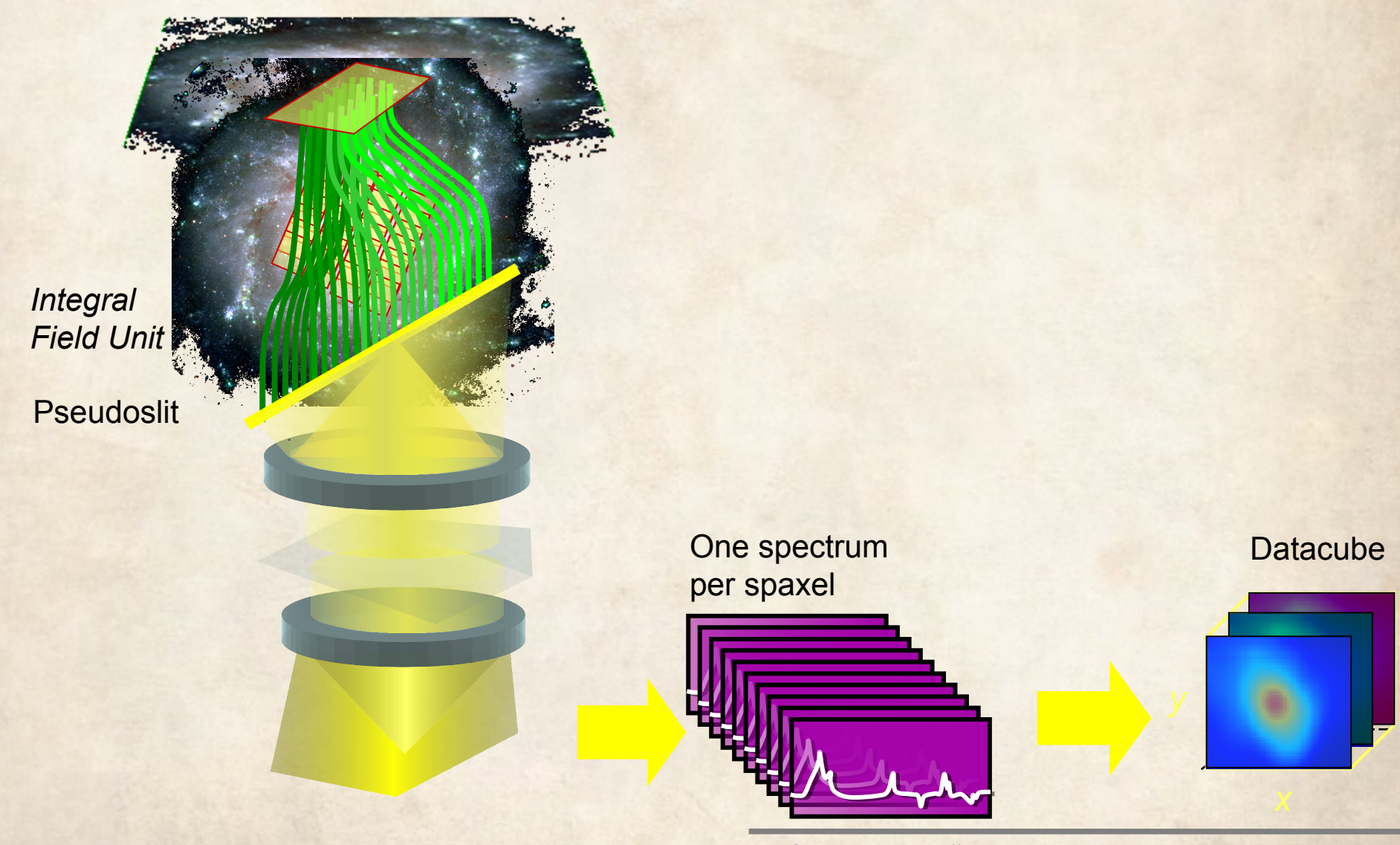


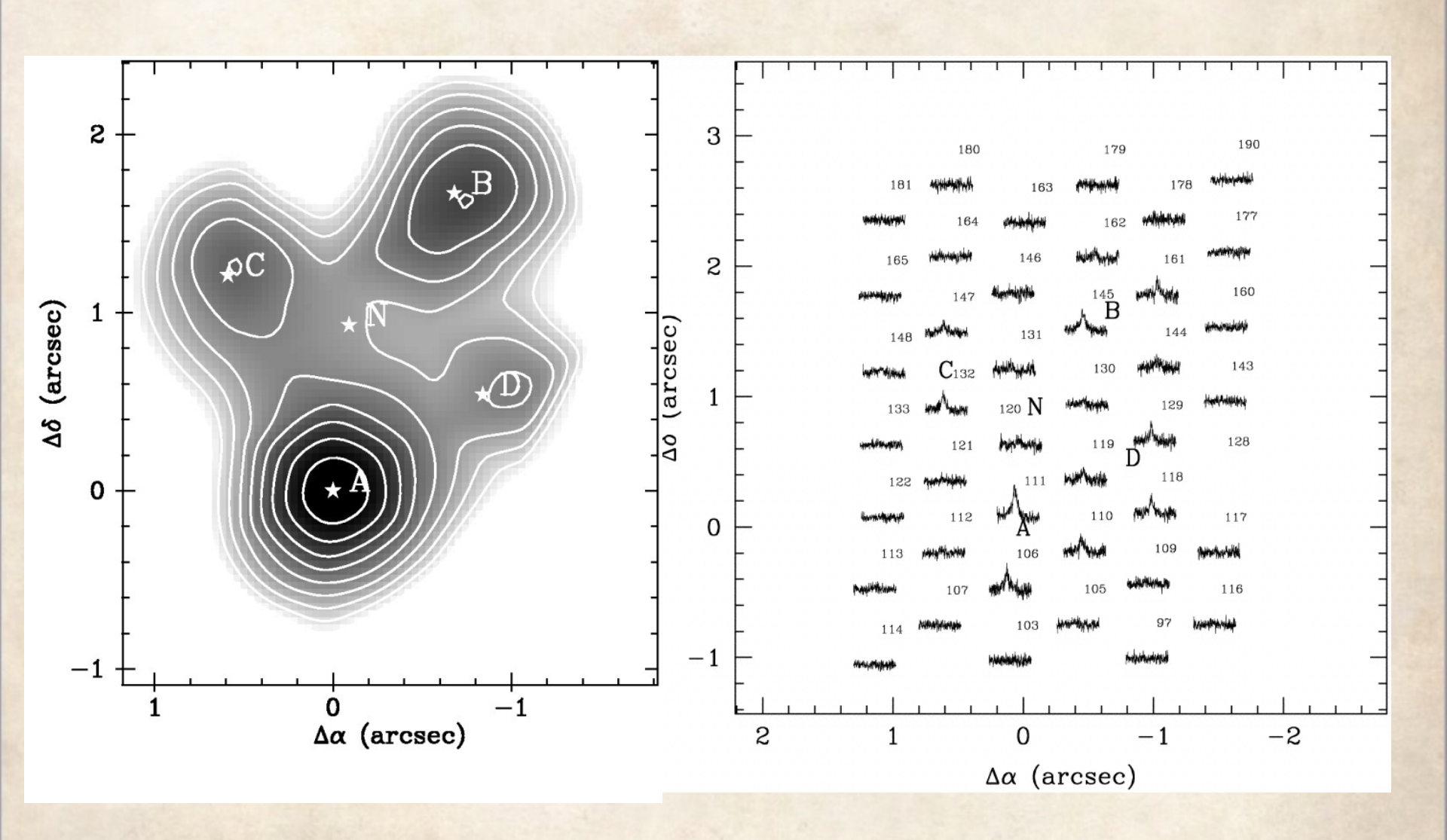


3 fiber bundles:

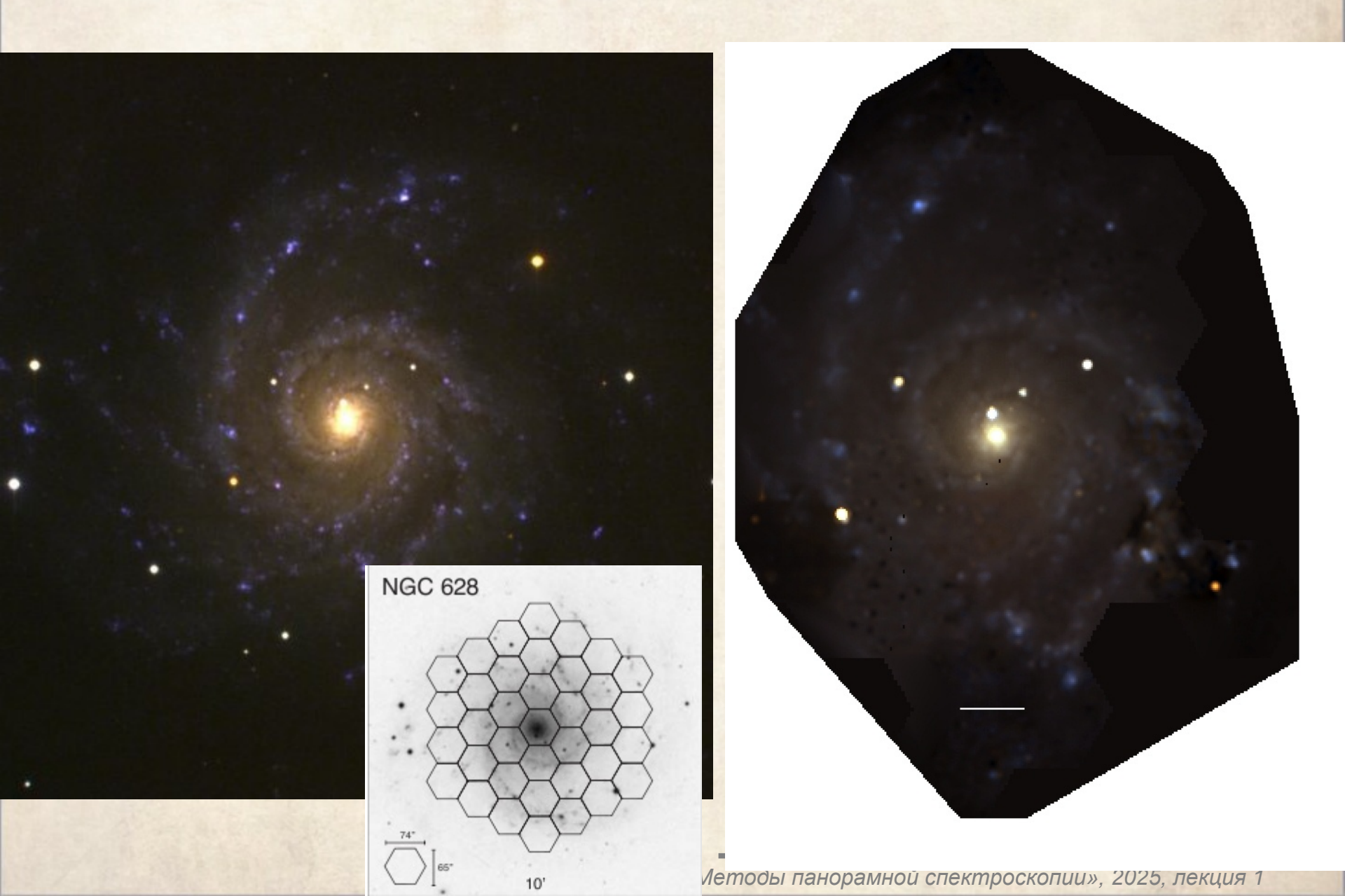
Mode	FoV ("x")	Ø (")
SB1	7.80×6.40	0.45
SB2	16.0×12.3	0.90
SB3	33.6×29.4	2.70

Волоконный блок

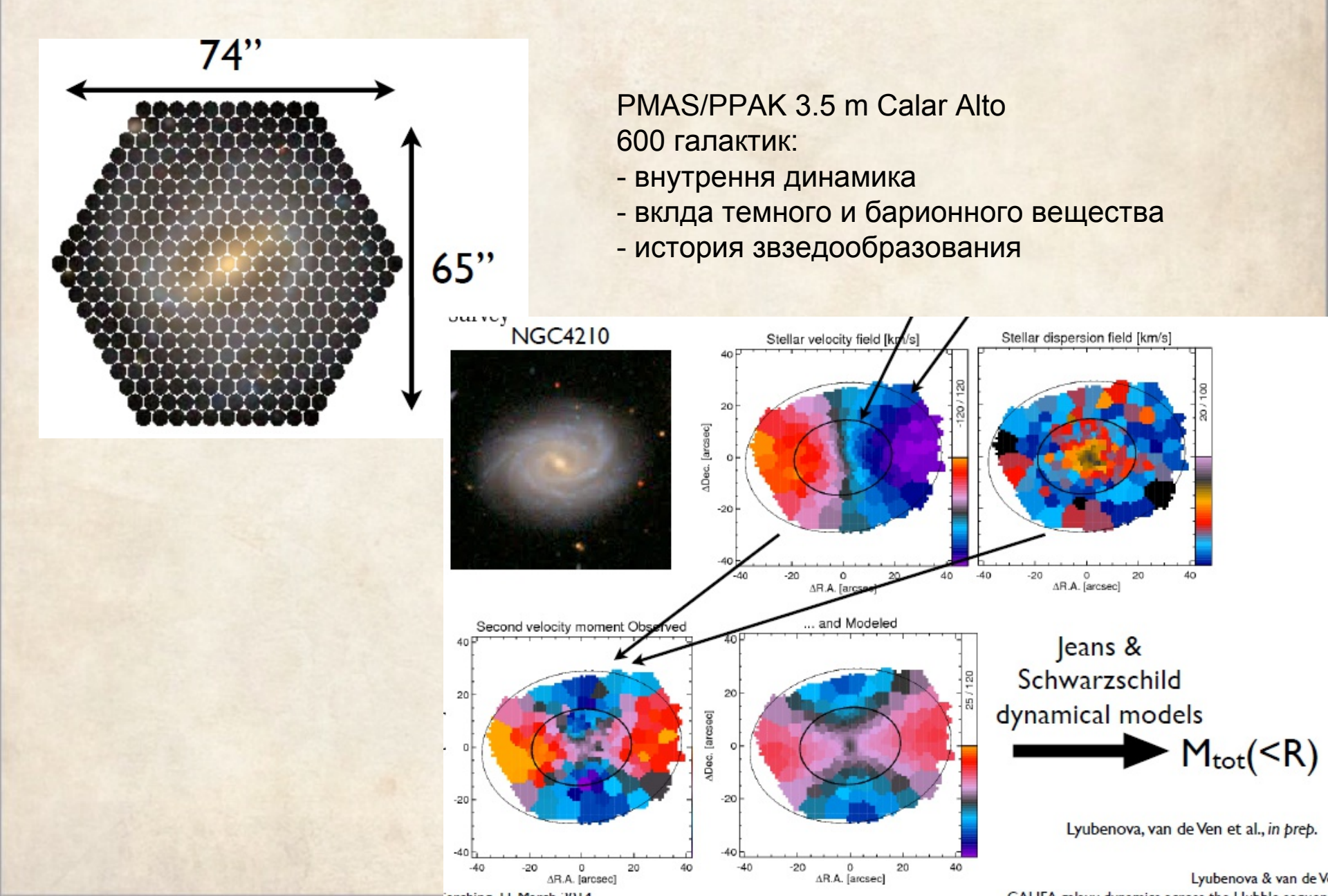




РРАК – мозаика спектров в галактике NGC 628



CALIFA

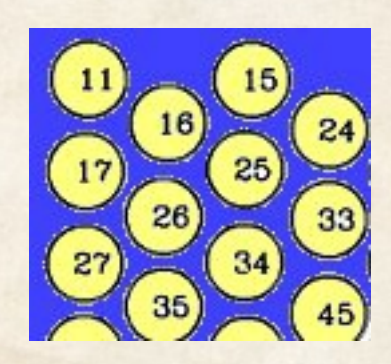


Multi Pupil Fiber Spectrograph: линзы + волокна

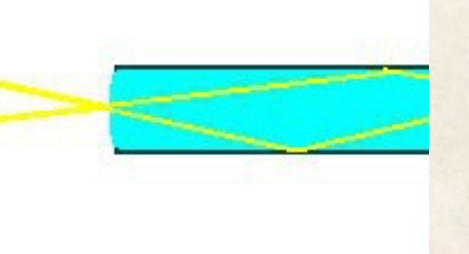
Проблемы пучков световолокон:

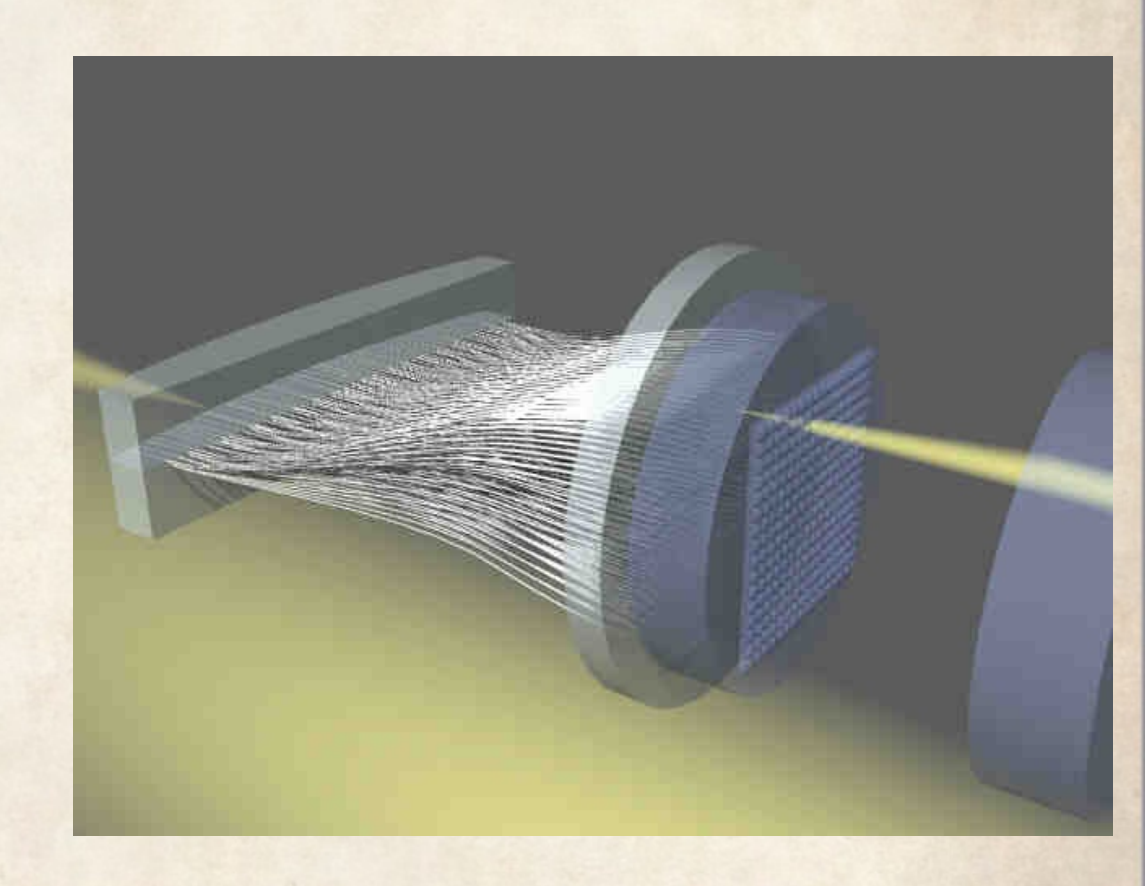
Afanasiev et al (1990, 2001)

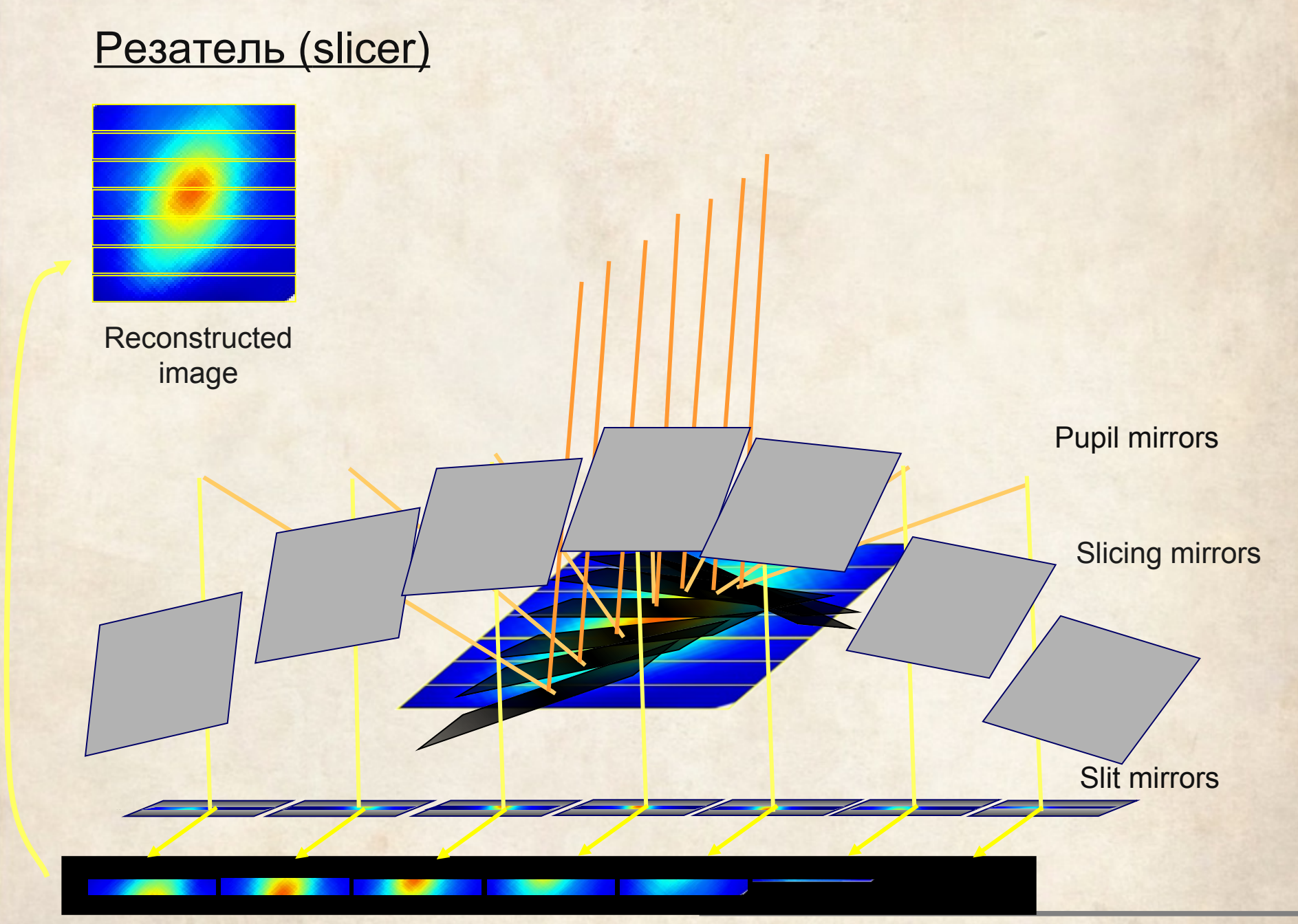
1. Фактор заполнения:



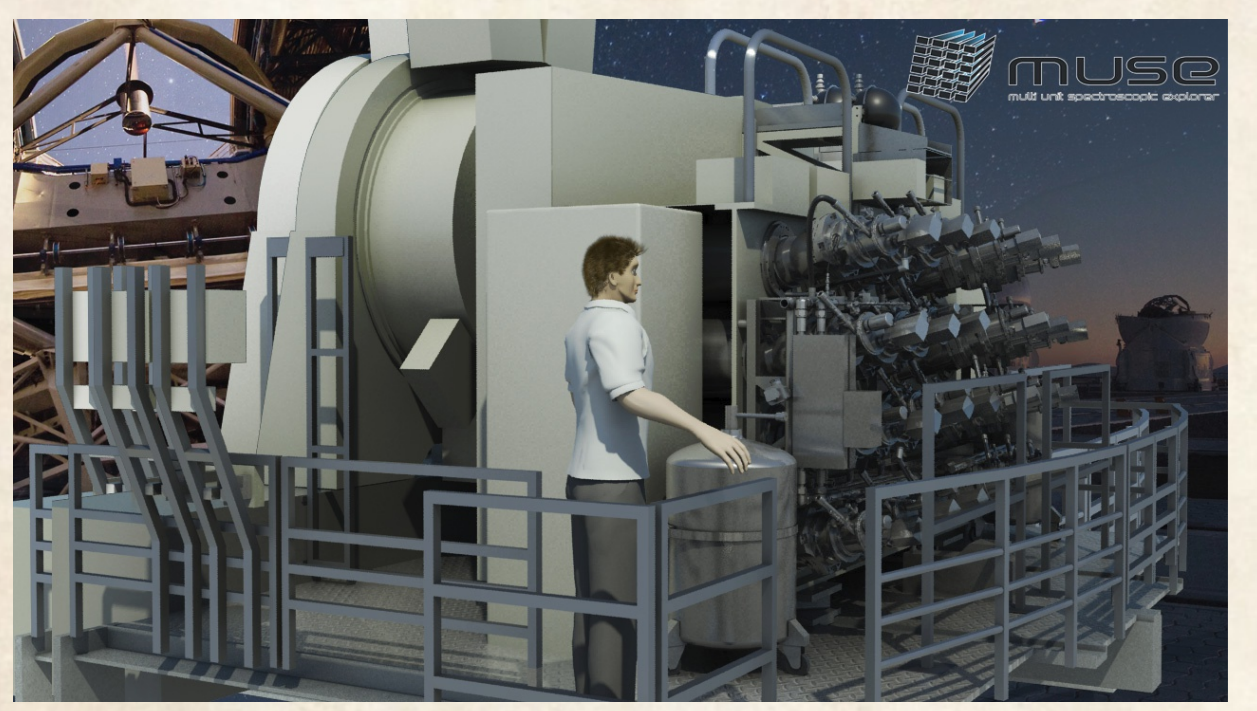
2. Деградация апертуры:



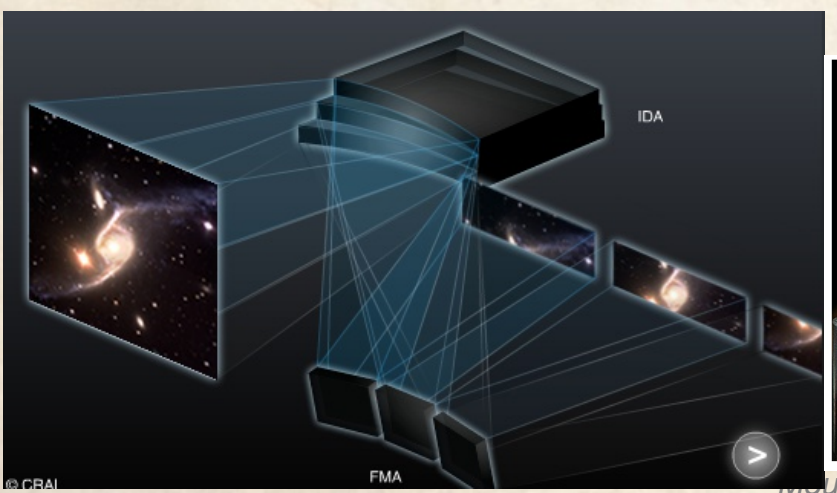


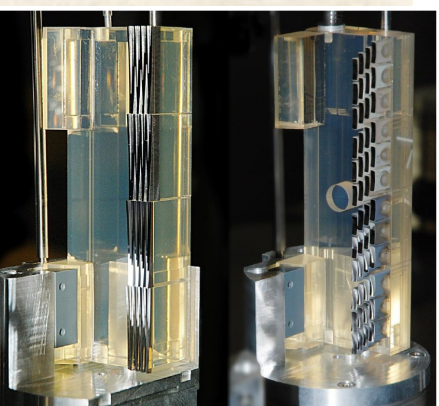


A Multi Unit Spectroscopic Explorer - MUSE

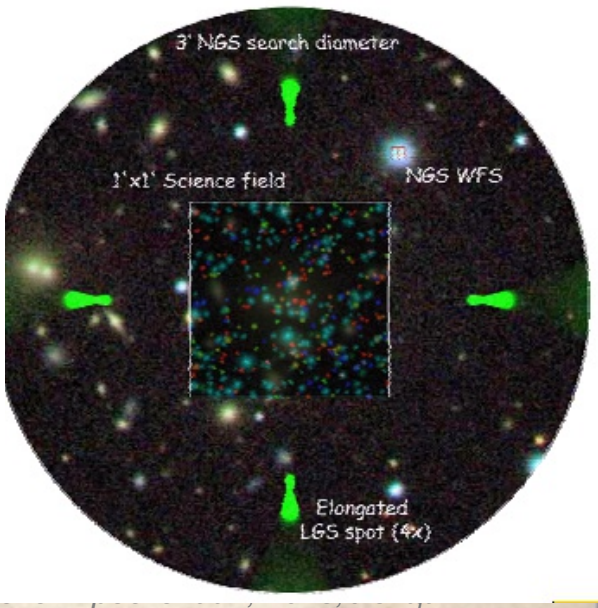


Observational Parameters			
Spectral range (simultaneous)	0.465-0.93 μm		
Resolving power	2000@0.46 μm		
Resolving power	4000@0.93 μm		
Wide Field Mode	(WFM)		
Field of view	1×1 arcmin²		
Spatial sampling	0.2x0.2 arcsec ²		
Spatial resolution (FWHM)	0.3-0.4 arcsec		
Gain in ensquared energy within	2		
one pixel with respect to seeing			
Condition of operation with AO	70%-ile		
5ky coverage with AO	70% at Galactic Pole		
Limiting magnitude in 80h	I _{AB} = 25.0 (R=3500)		
	I _{AB} = 26.7 (R=180)		





мо<mark>исеев, «Методы панорамно</mark>



MUSE: Туманность Ориона

6 x 5 arcmin
Weilbacher et al 2015

red: [S II] 6731 blue: Hbeta,

green: [N II] 6584

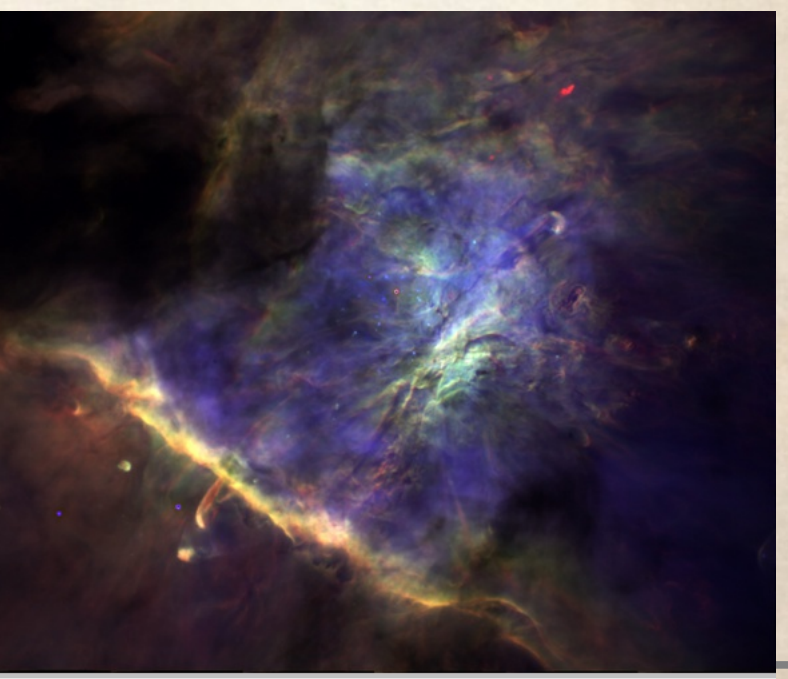
http://muse-vlt.eu/science/m42/



Ronald Bacon plenary talk, EWASS-2019

red: [O III] 5007 green: [O II] 7320 blue: [O I] 6300





Моисеев, «Методы панорамной спектроскопии», 2025, лекция 1

Лайман-альфа гало в глубоких полях

LETTER

Corrected: Author Correction

https://doi.org/10.1038/s41586-018-0564-6

Nearly all the sky is covered by Lyman- α emission around high-redshift galaxies

L. Wisotzki¹*, R. Bacon², J. Brinchmann³.⁴, S. Cantalupo⁵, P. Richter⁶, J. Schaye³, K. B. Schmidt¹, T. Urrutia¹, P. M. Weilbacher¹, M. Akhlaghi², N. Bouché⁻, T. Contini⁻, B. Guiderdoni², E. C. Herenz®, H. Inami², J. Kerutt¹, F. Leclercq², R. A. Marino⁵, M. Maseda³, A. Monreal-Ibero³.¹0, T. Nanayakkara³, J. Richard², R. Saust¹, M. Steinmetz¹ & M. Wendt¹.⁶

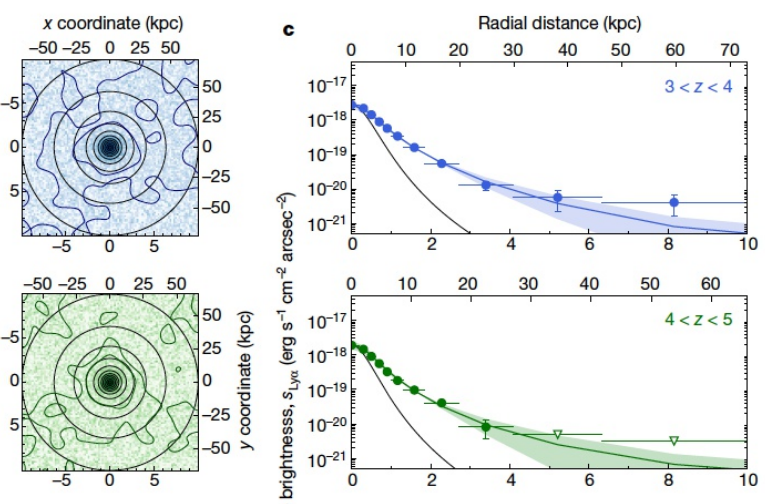


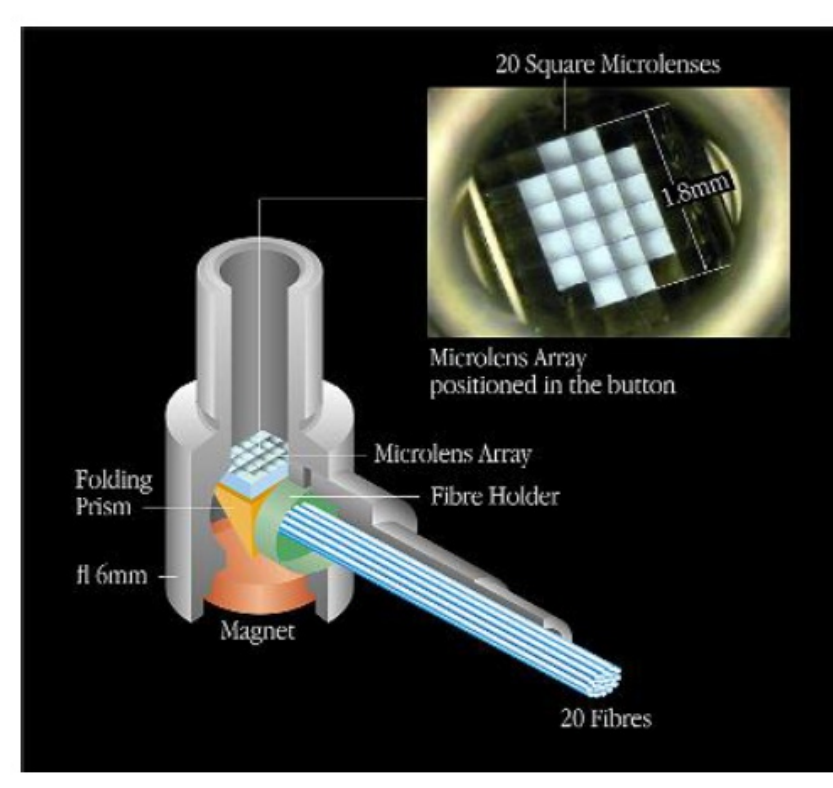
Fig. 1 | Distribution of the observed Ly α emission in the HUDF. The underlying image is a colour composite obtained by the HST¹⁹ restricted to the 1' × 1' section observed with MUSE. The extended Ly α emission detected by MUSE is superimposed in blue, summed over the redshift range 3 < z < 6 and spatially filtered to suppress the noise. The grey

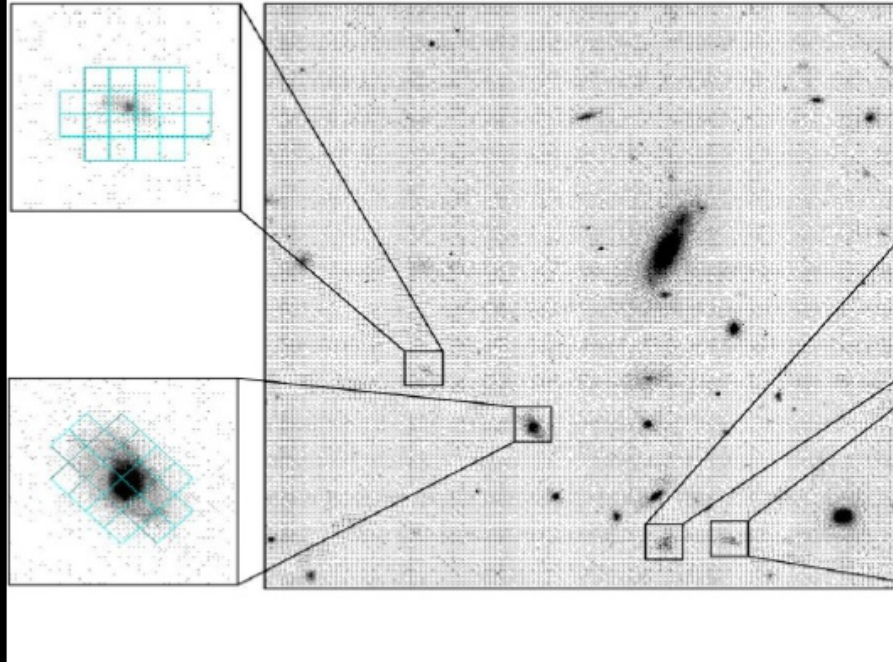
Wisotzki + 2018

Многообъектный панорамный спектрограф

IFU Techniques: Optical Fibres

FLAMES - VLT

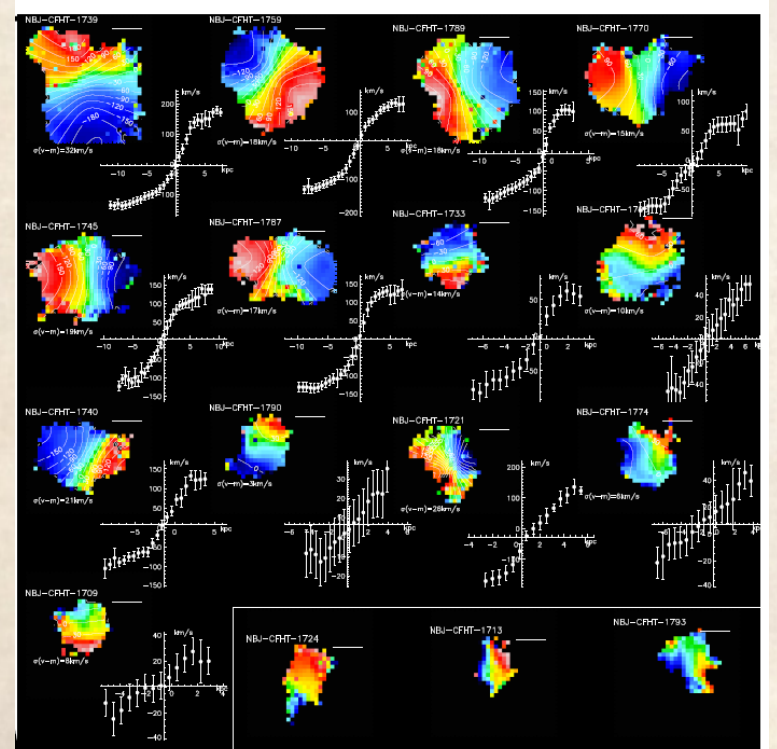




KMOS: K-band Multi-Object Spectrograph

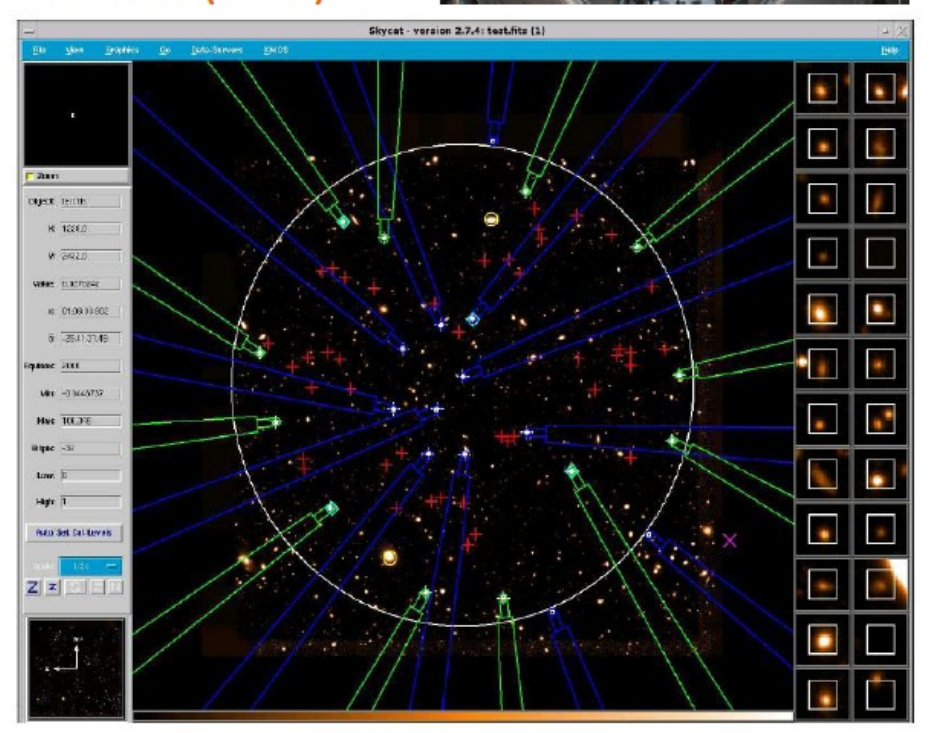
- Instrument capabilities
 - VLT 8m
 - 24 MOS probes, 2.8x2.8 arcsec each, sampled at 0.2 arcsec (14 slices)
 - 4704 spatial elements total (188 arcsec²)
 - 7.2 arcmin diameter patrol field
 - 0.8-2.5 μm range
 - 1000 spectral elements (R~3600)
 - $\epsilon = 0.3 * telescope * atmosphere$

2 hours of VLT time





KMOS (NIR)

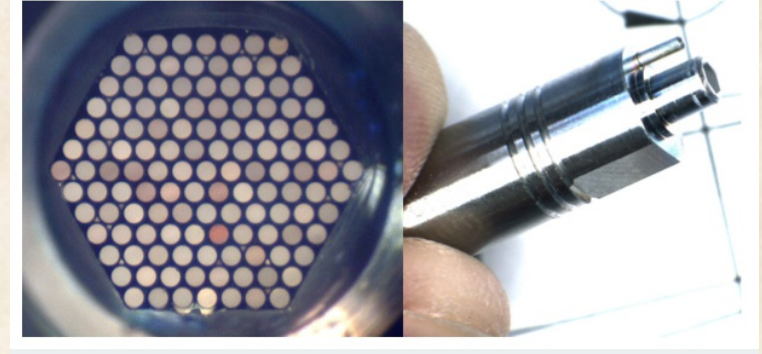


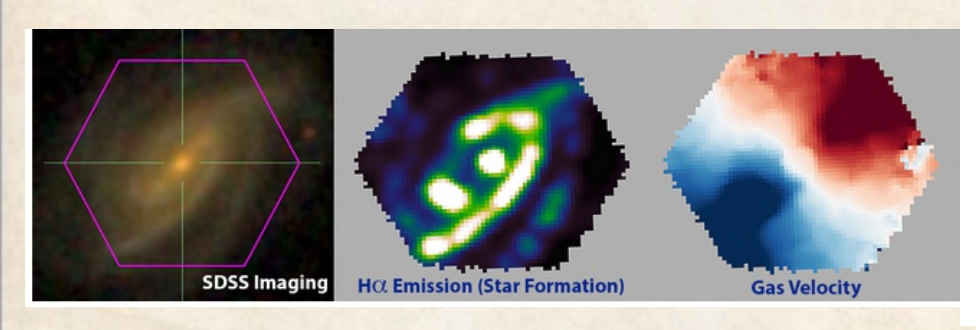
Моисеев, «Методы панорамной спектроскопии», 2025, лекция 1

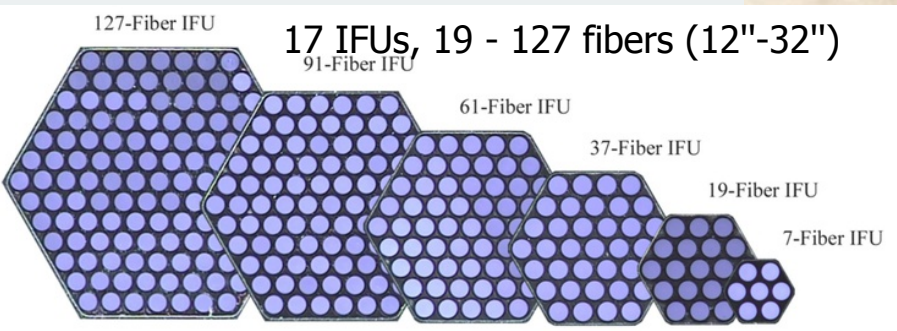
Массовые IFU обзоры на телескопах 2.5-4 м

MaNGA/SDSS-IV, 2014-2020 ~10 000 галактик

2"/fiber, R~2000 360-1030 nm







SAMI, AAT: 13 hexabundles (15" FOV@ 1.6 arcsec)

~3500 галактик

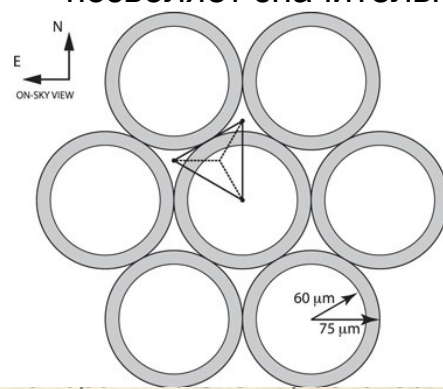
HECTOR(2023-29): 15 000 галактик, R~4000





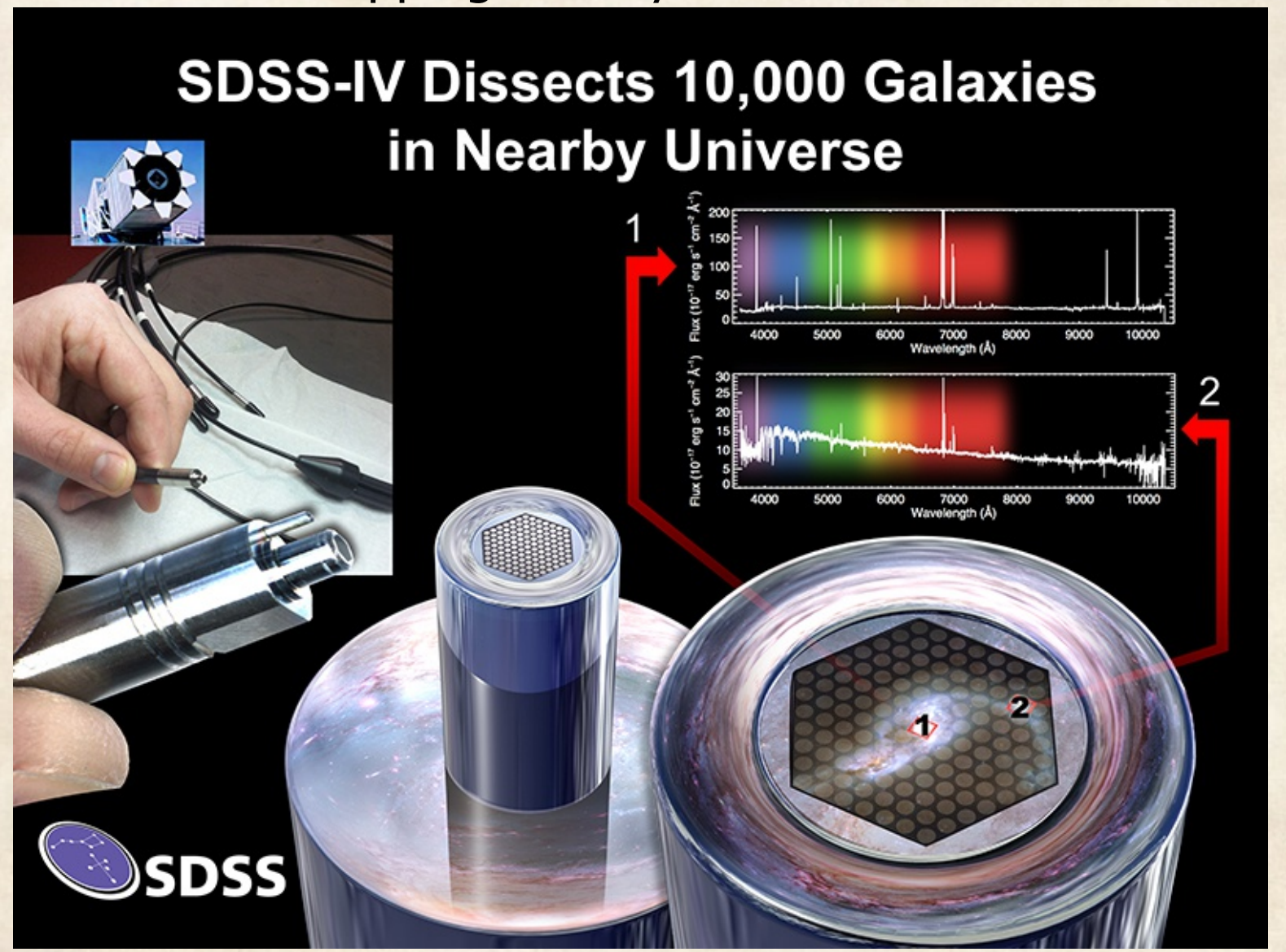
Моисеев. «Методь

Наблюдения в трех положениях при гексагональной упаковке волокон позволяет значительно улучшить PSF

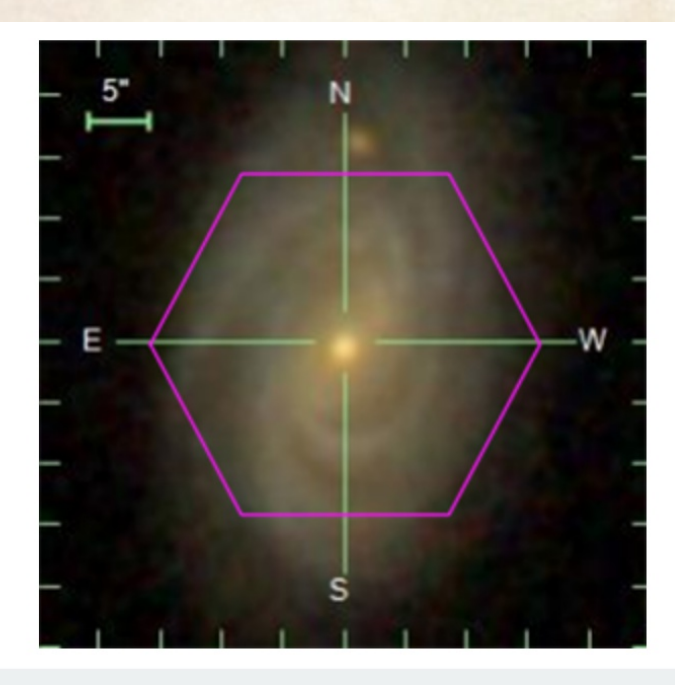


2025, лекция 1

SDSS MaNGA: Mapping Nearby Galaxies at APO

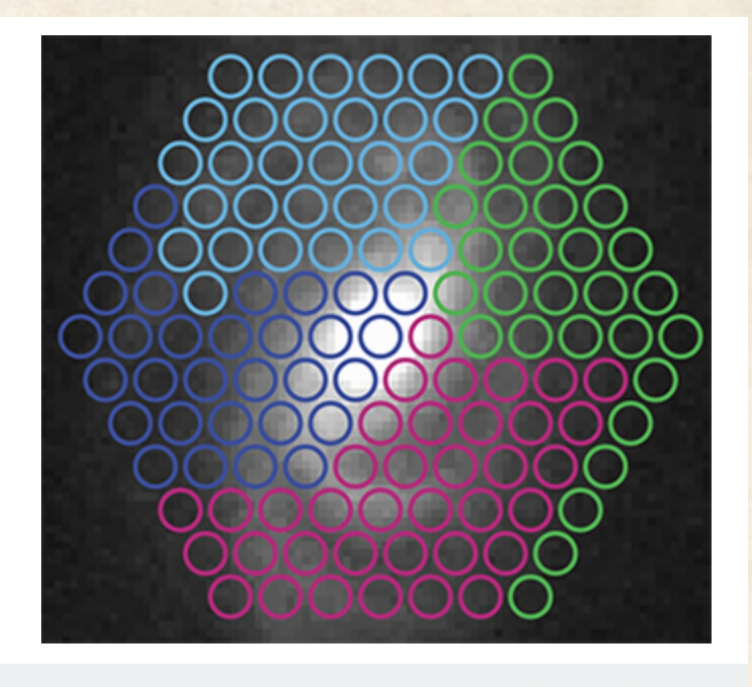


SDSS MaNGA: Mapping Nearby Galaxies at APO

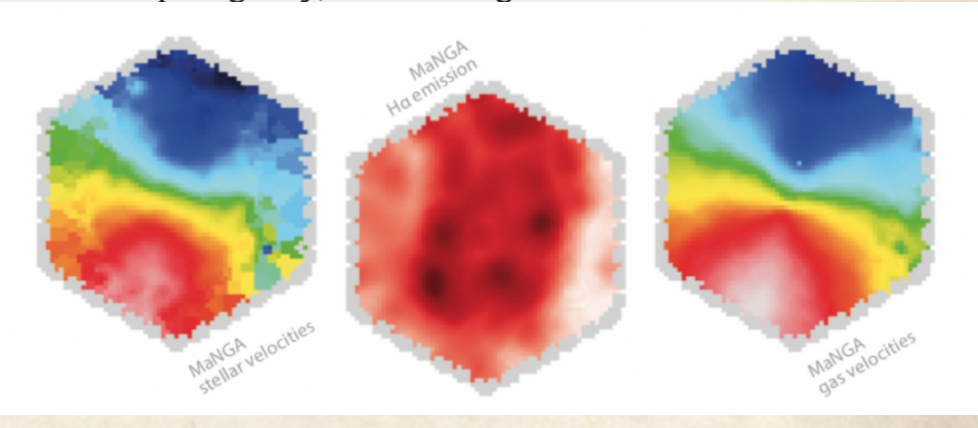


A face-on spiral galaxy seen by MaNGA – the red hexagon shows the coverage of the MaNGA IFU instrument

~10 000 близких галактик (данные должны быть открыты к концу этого года)



The same spiral galaxy, now showing circles for the

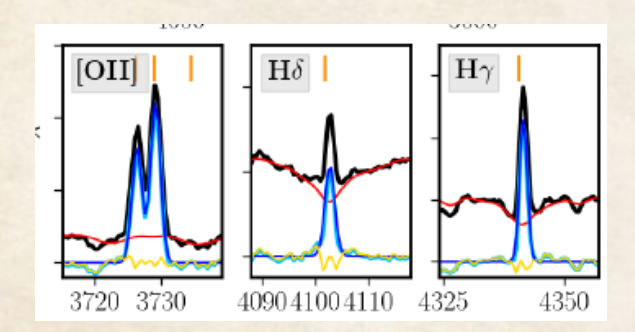


Новейшее время

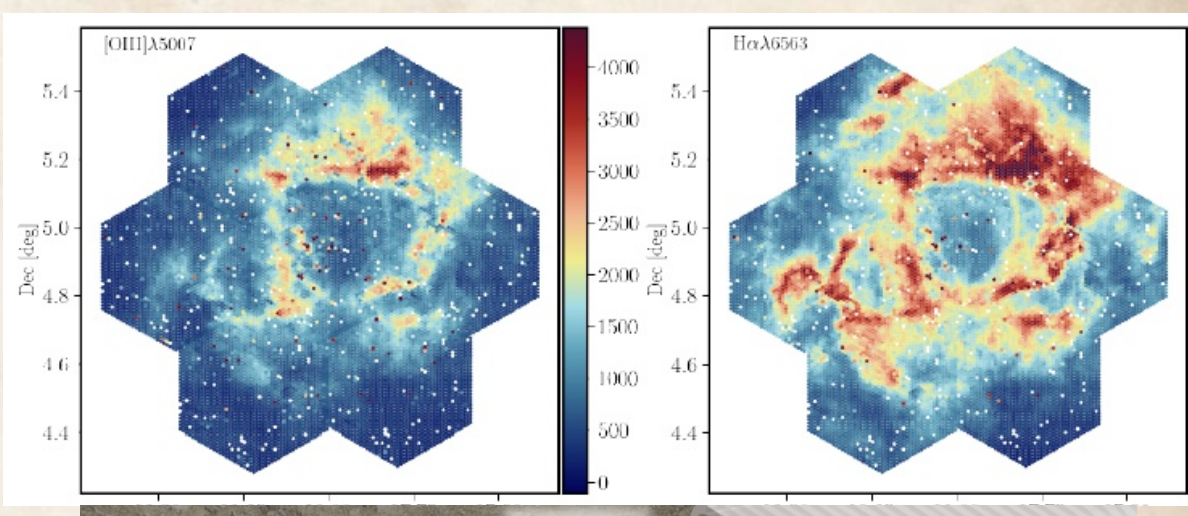
Тенденция к увеличению поля зрения и R, не обязательно на большие телескопах.

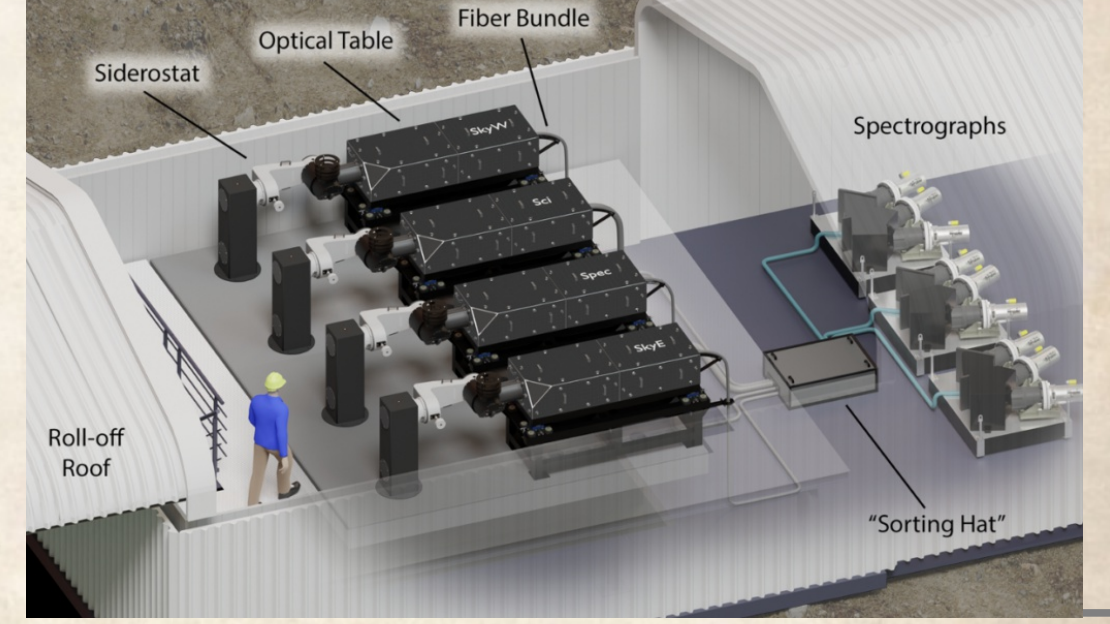
Технология – жгут световолокон

LVM/SDSS-V: 360-1000 nm, R~4000 (DESI spectrographs) 30'@35"/fiber, 4xD16 cm(!) +10% ночного неба



Китай: проект AMASE R=15 000, 4600-5100 A/ 6250-6850 A





Моисеев, «Методы панорамной спектроскопии», 2025, лекция 1

Зачем так много всего? Решение разных задач

	Спектр.	Ф актор
	диапазон	заполнения
линзы	i	Неполный,
•	маленький	проблема фона
1.0000000000000000000000000000000000000		неба
Волокна звз	♦ Sh	Потери на входе,
Observino fibres	а по	Учет фона неба
линзы+		Хорошее
ропокио	Большой	заполнение
волокна	рольшом	+ фон неба
резатель	4	Полное
	Большой	заполнение
	рольшои	Проблема фона

Разные варианты сочетания спектрального диапазона, разрешения и поля зрения + вычитание фона неба

Спасибо за внимание!

Для интересующихся историей 3D спектроскопии:

1982ASSL...92..123C

AN INTEGRAL FIELD SPECTROGRAPH (IFS) FOR LARGE TELESCOPES

G. COURTES
Laboratoire d'Astronomie Spatiale du CNRS, Marseille
et Observatoire de Marseille

ABSTRACT: A combination of an array of small lenses together with fibre optics can be used to produce a high transmission spectrograph which can record the spectra of many image elements simultaneously. Such a design may play an important role in ground based observations preparing for the NASA-ESA Space Telescope programmes.

2024Ap&SS.369..111B

From TIGER to WST: scientific impact of four decades of developments in integral field spectroscopy

Roland Bacon Centre de Recherche Astrophysique de Lyon

Email: roland.bacon@univ-lyon1.fr

Accepted for publication in Astrophysics and Space Science, 2024 edition of the Astronomy Prize Awardees Collection

Abstract

This paper traces the 37 years of my career dedicated to the development of integral field spectroscopy (IFS), highlighting significant milestones and advancements. This extensive journey encompasses three generations of IFS: the initial prototype TIGER at CFHT, the first generation including OASIS at CFHT and SAURON at WHT, the second generation with MUSE at VLT, and the potential third generation represented by the Wide-field Spectroscopic Telescope (WST) project. Throughout, I discuss the lessons learned at each stage and provide my perspective on the future of IFS.